# Studio fotometrico delle Galassie Early type dell'ammasso della Vergine (Virgo Cluster)

Progetto Educativo "Il Cielo come laboratorio"

a.s. 2003-2004

Scuola Polo Liceo Scientifico E.Curiel

Lavoro realizzato da:

Barasti Lorenzo, Bauce Matteo, Carraro Valentina, Saadeh Daniela, Saccone Filippo, Simonato Sara (Liceo S.S. E.Curiel - PD)

Balbo Matteo, Montalbano Marco, Valente Matteo (Liceo S.S. A.Cornaro – PD)

Monetti Stefano (Liceo S.S. G.Galilei - Dolo VE)

Con la collaborazione di:

Dott. D'Onofrio Mauro – Dipartiento di Astronomia Università di Padova Prof.ssa Scalabrin Marzia - Referente del progetto Prof.sse Ferracin Emanuela e Zudori Annamaria – Liceo S.S. A.Cornaro

# Cosa sono gli ammassi di galassie?

- Sono agglomerati enormi che contano numerose galassie.
- ➤ Si distinguono in base alla loro morfologia in AMMASSI REGOLARI e IRREGOLARI

Il grande ammasso più vicino a noi è l'ammasso della Vergine







#### **Ammasso**

Vergine

## Distanza (Mpc)

18,3 ca

#### Galassie

2500 ca

# Velocità rad.(km/s)

+1.150 ca

### Cosa sono le galassie Early

Type?

- Sono galassie aventi forma sferoidale
- Hanno un caratteristico colore rossastro
- Poca quantità di gas freddi e polveri
- Sono prive di strutture evidenti al contrario delle galassie a spira



classificate in base alle dimensioni e la struttura dei cosiddetti bracci di spirale come abbiamo proceduto...

Analisi immagine

· Raccolta ed elaborazione dati



• Osservazioni e conclusioni

#### 2) Analisi immagini

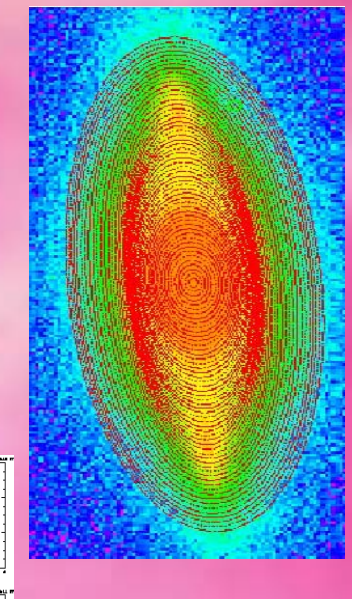


#### 3) Raccolta ed elaborazione dati

• Determinazione delle isofote

IOW	SMA	RSMA	ELLIP	ELLIP_ERR	PA	PA_ERR	X0	Y0	MAG_LERR			
	pixel				degrees	degrees	pixel	pixel				
1	6,05	1,57	0,2574	0,0144	2,23	1,88		287,36	0,00282			
2	6,66	1,61	0,2546	0,0170	2,93	2,21		287,33	0,00360			
3	7,32	1,64	0,2691	0,0130	3,45	1,61		287,32	0,00302			
4	8,05	1,68	0,2902	0,0096	3,82	1,11		287,36	0,00227			
5	8,86	1,73	0,3193	0,0115	4,76	1,25		287,43				
6	9,74	1,77	0,3368	0,0110	6,46	1,13	155,88	287,52	0,00281			
7	10,72	1,81	0,3386	0,0085	6,36	0,88		287,33	0,00242			
8	11,79	1,85	0,3659	0,0067	5,21	0,65		287,26	0,00227			
9	12,97	1,90	0,3837	0,0088	6,02	0,83		287,30	0,00245			
10	14,27	1,94	0,4167	0,0070	5,37	0,62	155,83	287,41	0,00235		1 . •	• •
11	15,69	1,99	0,4324	0,0067	5,63	0,59	155,82	217.63	0.00217	0100	dota	isofote
12	17,26	2,04	0,4276	0,0063	6,39		155	287, 9	000019		(lall	150101E
13	18,99	2,09	0,4491	0,0069	7,16	0,58_	15589	287,57	C 256		uuu	1001010
14	20,89	2,14	0,4622	0,0052	7,01	0,43	155,89		0,00226			
15	22,97	2,19	0,4780	0,0047	7,09	0,38		287,31	0,00231			
16	25,27	2,24	0,4953	0,0049	7,47	0,39		287,52	0,00210			
17	27,80	2,30	0,5046	0,0048	7,12	0,37		287,08	0,00249			
18	30,58	2,35	0,5095	0,0057	7,49	0,44		287,39	0,00241			
19	33,64	2,41	0,5192	0,0050	7,91	0,39		287,12	0,00228			
20	37,00	2,47	0,5192	0,0058	8,51	0,45		287,32	0,00266			
21	40,70	2,53	0,5035	0,0052	8,51	0,41		287,93	0,00245			
22	44,17	2,59	0,4810	0,0045	8,28	0,37	155,81	287,47	0,00225			
23	49,25	2,65	0,4625	0,0054	7,00	0,45		287,25	0,00237			
24	54,17	2,71	0,4348	0,0055	4,96	0,48		287,79	0,00226			The second secon
25	59,59	2,78	0,4027	0,0086	4,96	0,79		286,78	0,00248			- F 1
26	65,55	2,85	0,3831	0,0072	2,11	0,68		287,42	0,00227			
27	72,10	2,91	0,3667	0,0106	211	1,03	156,12	286,93	0,00217			"f 🔪 1

Creazione tabelle e grafici



#### 4) Osservazioni e conclusioni

# Ogni gruppo ha organizzato e interpretato i dati raccolti elaborando nuove informazioni sulle galassie considerate

#### Note sulle approssimazioni

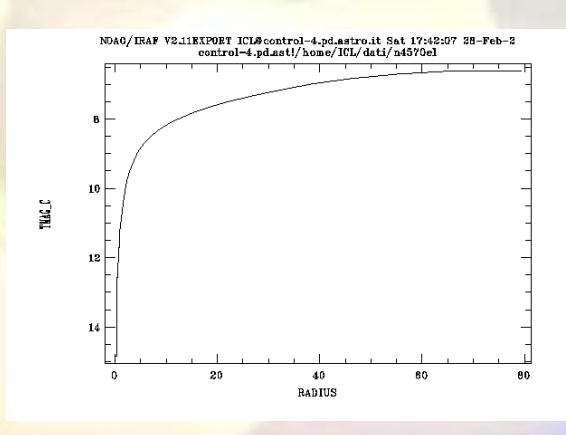
Nel raccogliere ed elaborare i dati abbiamo trascurato:

- 1) Errori nella calibrazione dello strumento
- 2) Errori nell'extrapolazione dei dati
- 3) Errori dovuti all'estinzione atmosferica
- 4) Errori dovuti all'estinzione galattica

#### 1) Errori di calibrazione

 Ogni strumento esegue rilevamenti secondo una scala propria. Per confrontare i dati si utilizza una scala convenzionale: la scala Johnson.

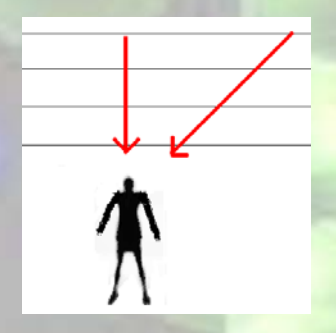
#### 2) Errori di estrapolazione



Considerando valori di reperiferici il rapporto Segnale/Rumore tende a 1, rendendo il disturbo più evidente.

#### 3) Errori di estinzione atmosferica

Il fenomeno è determinato dalla presenza di massa d'aria (airmass) tra l'oggetto e l'osservatore telescopi terrestri.



airmass= 1/cosz

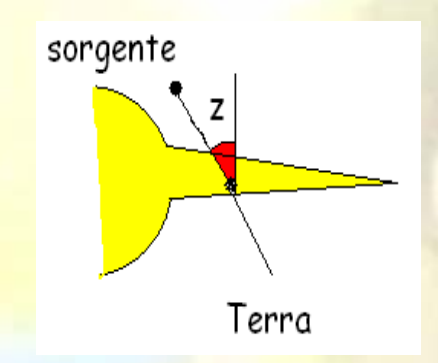
Per correggere il problema:

$$M'_{S} = M_{S} + ksecz^*$$

\*z= angolo compreso tra zenith, osservatore e oggetto,  $M_s' = mag$  corretta,  $M_s = mag$  rilevata, k costante

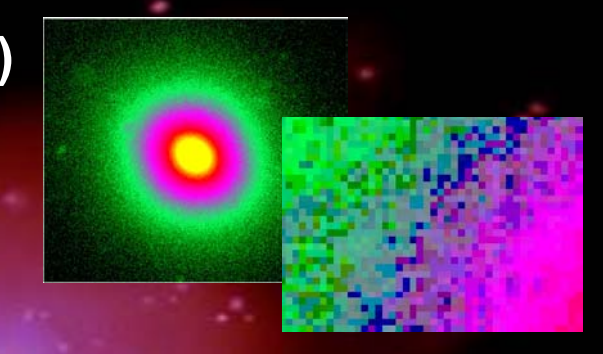
#### 4) Estinzione galattica

- Fenomeno dovuto all'assorbimento delle radiazioni da parte delle polveri e dal rumore dei corpi della Via Lattea
- Il fenomeno è trascurabile in direzione del disco ma consistente verso il bulge



# Per affrontare questo lavoro abbiamo approfondito le nostre conoscenze su...

✓ Rilevatori CCD (Charged Coupled Devices)



- ✓ Parametri misurabili delle Galassie
- ✓ Problema delle distanze in astronomia
- Morfologia delle galassie

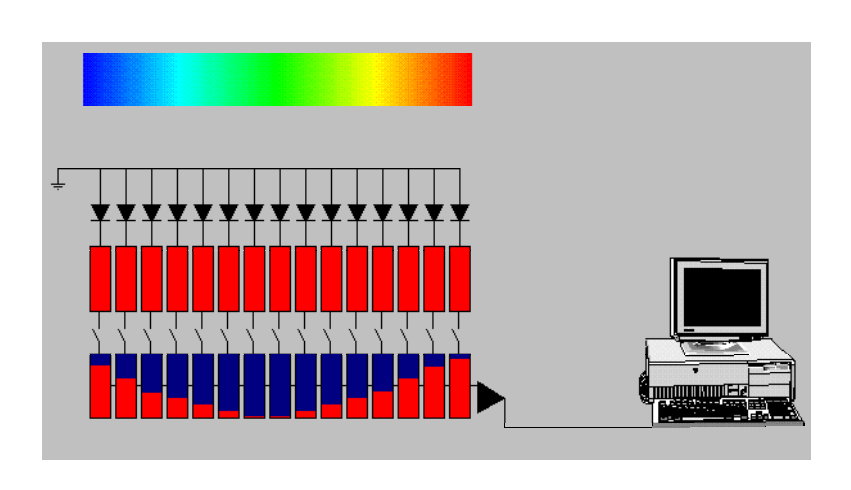
#### Si usano perciò i CCD, caratterizzati da



- Grande sensibilità
- Linearità segnale
- Immagini digitali

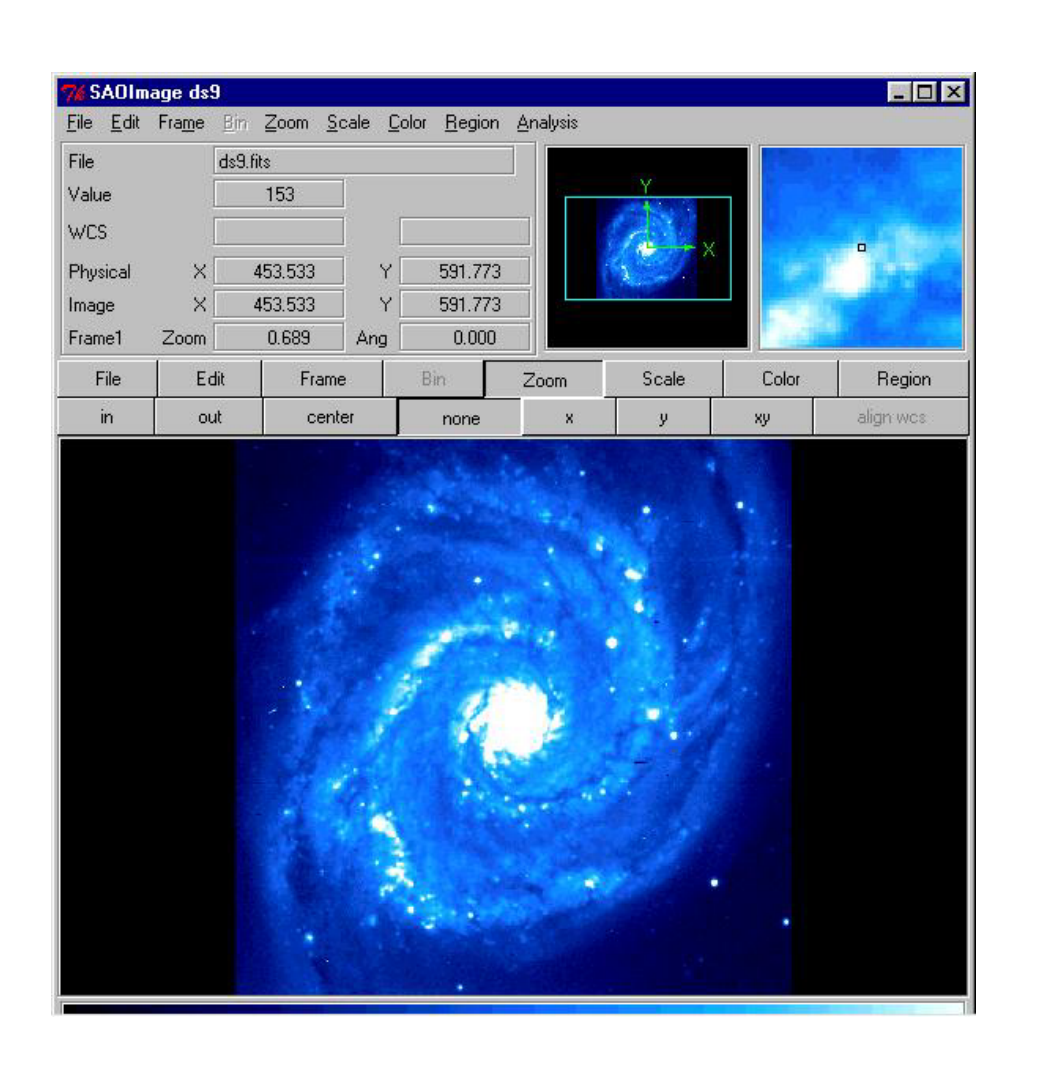
E' possibile lavorare sulle immagini ottenute

#### Funzionamento dei CCD



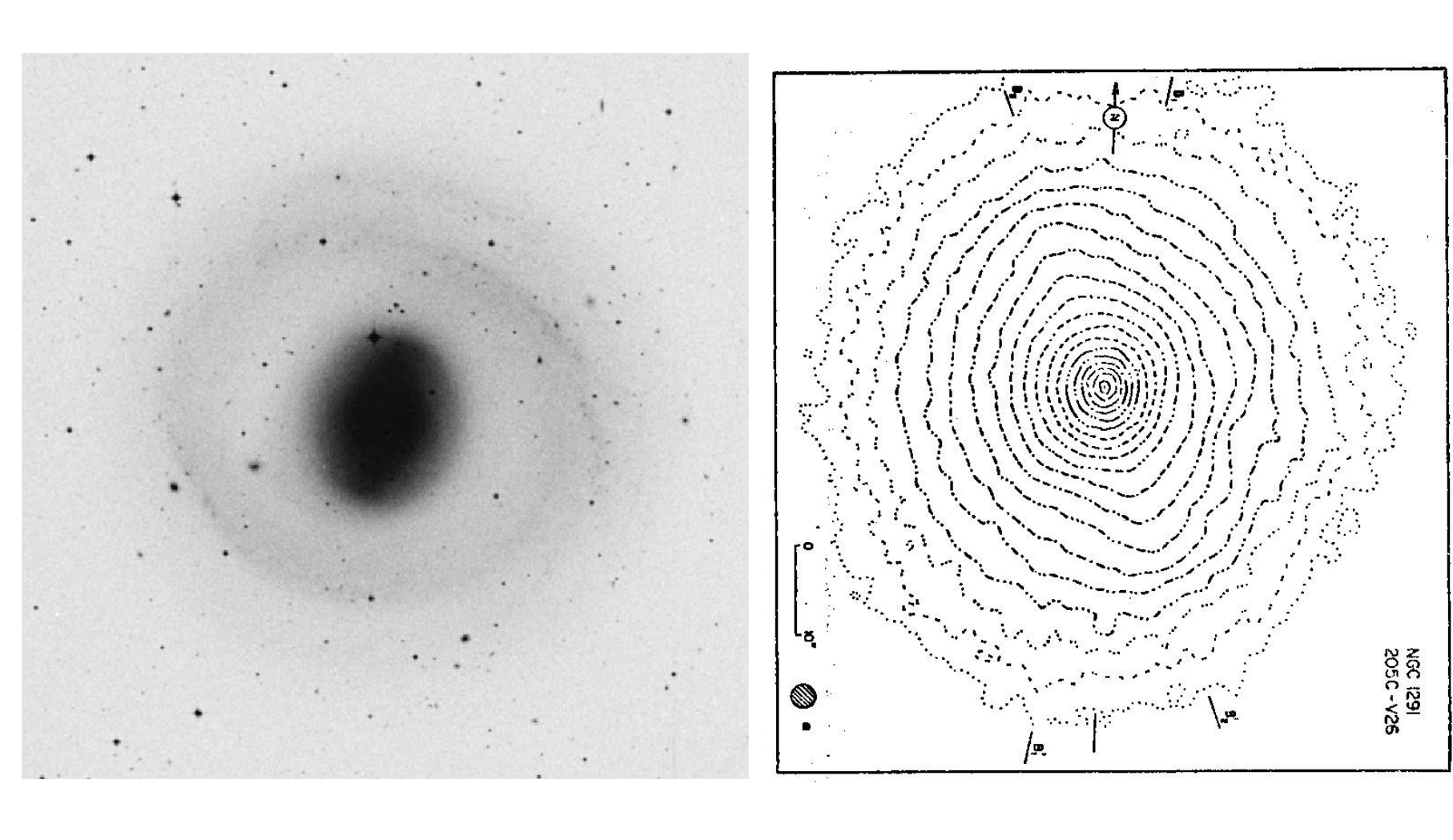
I CCD convertono i fotoni percepiti da ogni singolo pixel ottenendo su un computer una mappatura digitale della luminosità del campo osservato.

### Elaborazione immagini



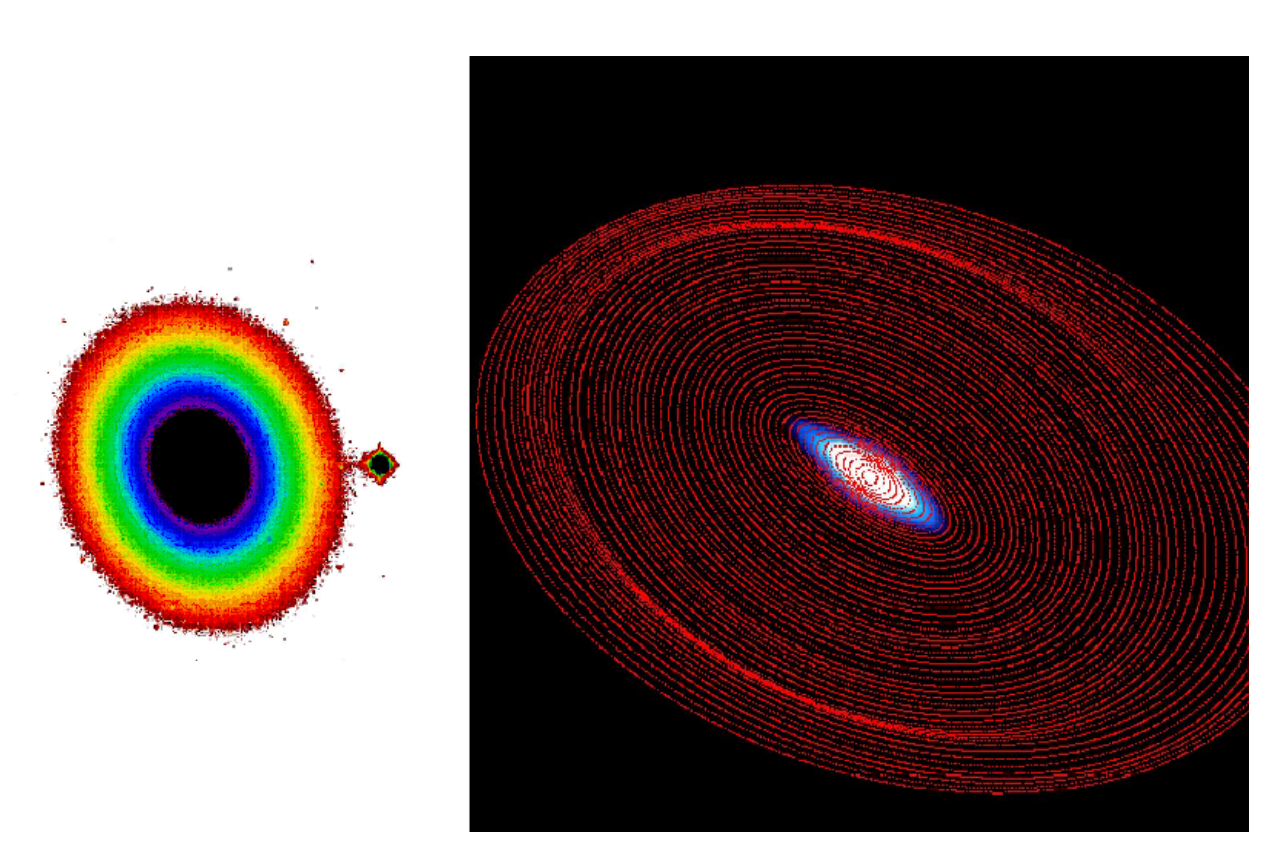
Con alcuni software (es. IRAF) è possibile elaborare i dati ottenuti dalle immagini del CCD.

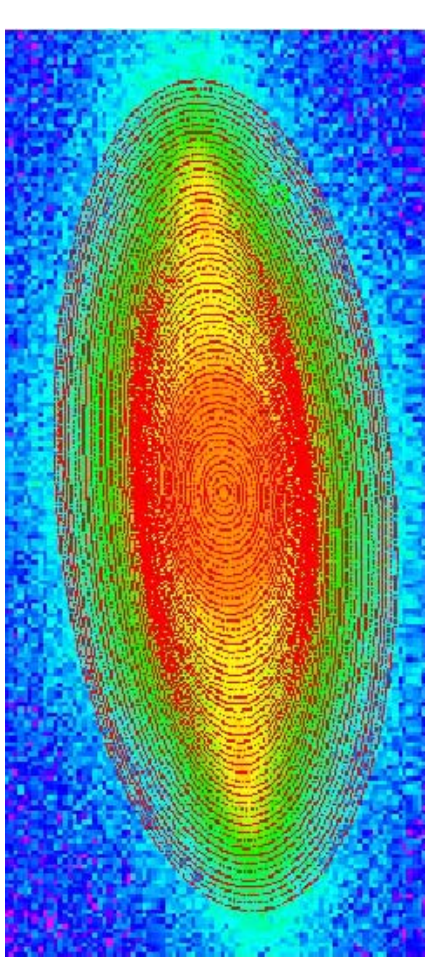
### Le isofote



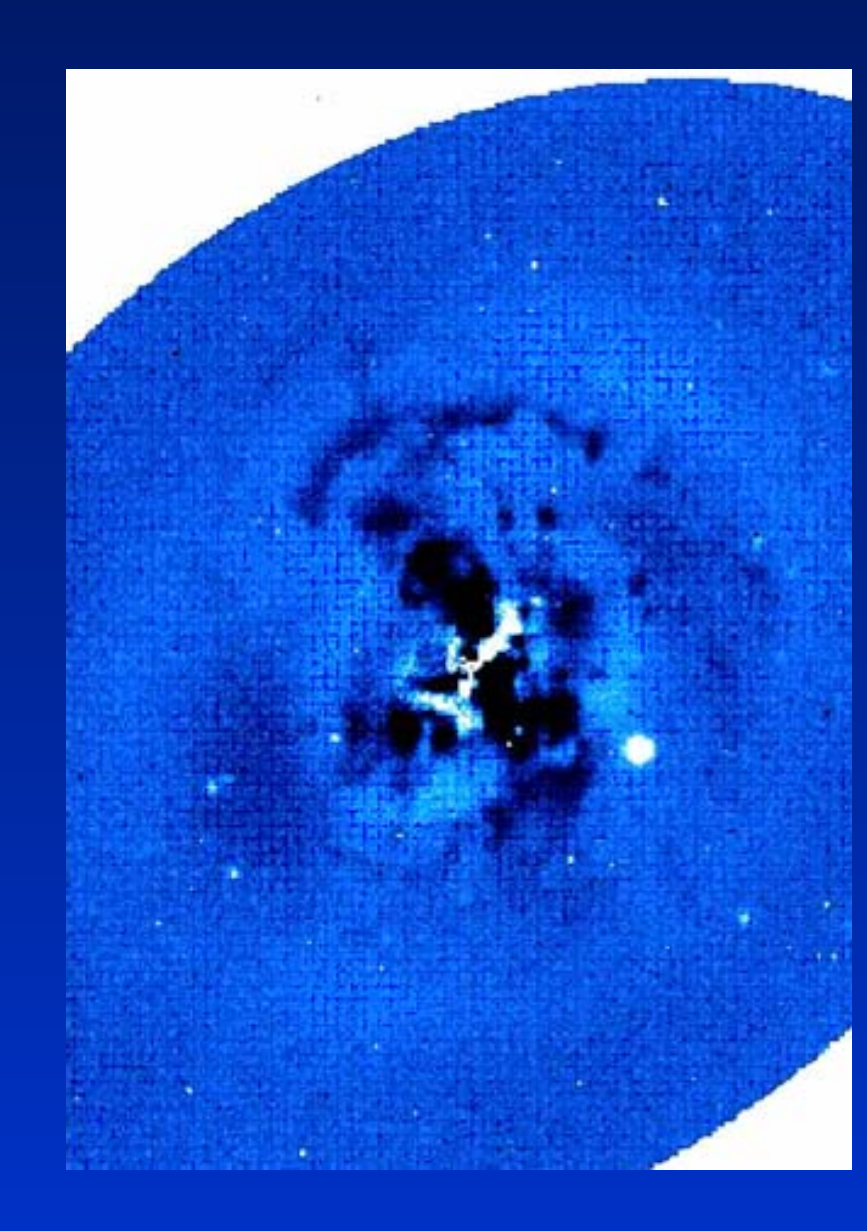
Le isofote sono le linee che congiungono i punti con la stessa brillanza superficiale, rilevata con il CCD.

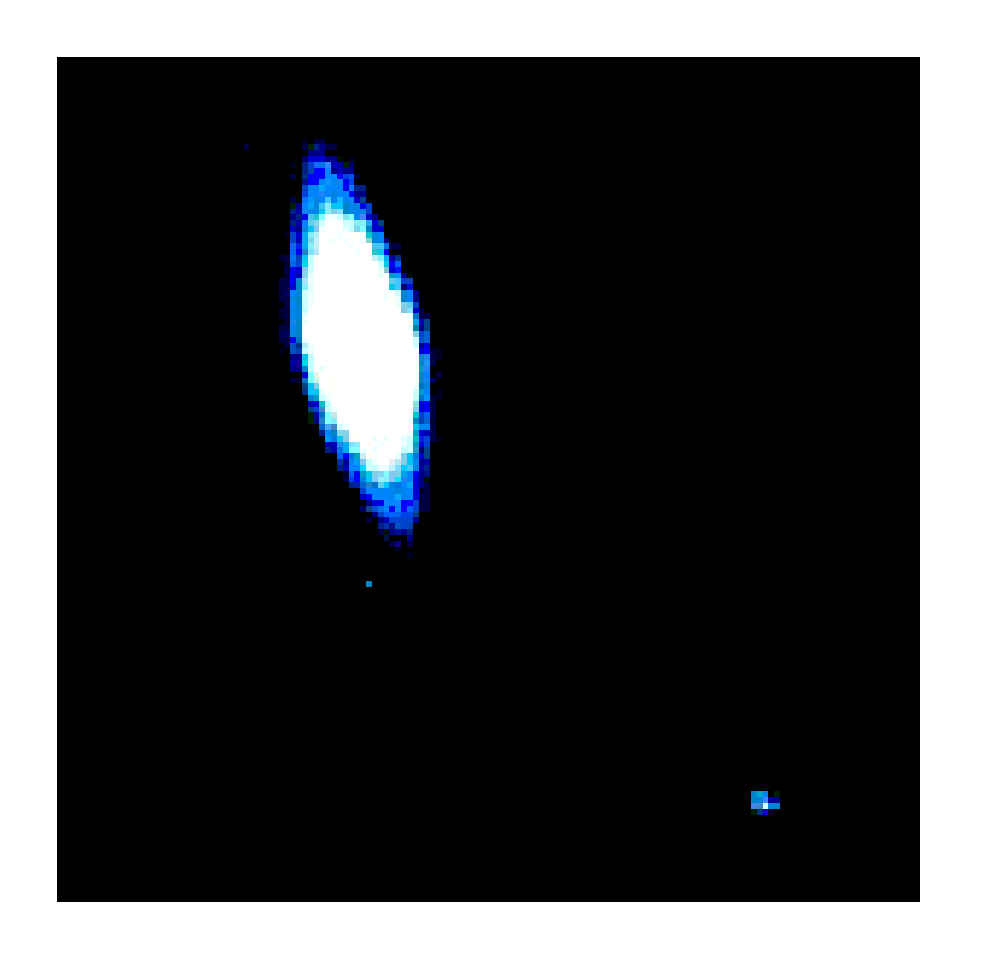
# Utilizzando le isofote si possono creare immagini in falsi colori delle galassie





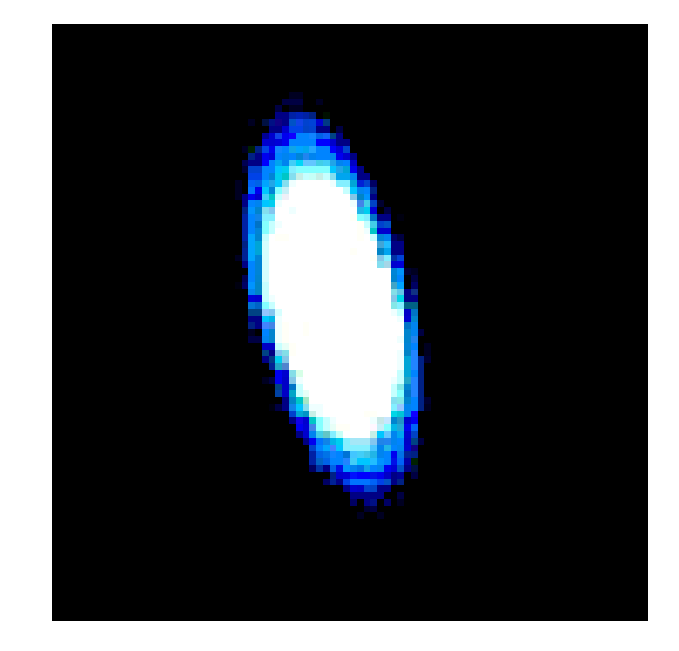
n alcuni casi per evidenziare strutture particolari è stato compiuto un lavoro di sottrazione tra l'immagine originale e un modello creato a partire dalle isofote





←Immagine originale

Modello ricostruito →
tramite lo studio delle
isofote e della morfologia
della galassia



#### Parametri misurabili delle Galassie

• Si risale alla magnitudine della galassia con la relazione:

$$mag_{(radius)} = \mu_{sky} - 2.5 Log(T_{flux(radius)}/I_{sky})$$

(essendo  $\mu_{sky}$  e  $l_{sky}$  la brillanza del cielo e il numero di conteggi CCD dovuti al cielo e  $T_{flux(radius)}$  il flusso di apertura)

• Ottenuto il valore della magnitudine apparente si ricava quello della magnitudine assoluta (come se fosse a d=10 pc) nota la distanza dell'oggetto:

 Con la magnitudine assoluta di una galassia si può stimare quante stelle come il sole contiene. Infatti:

$$\label{eq:mag} \text{Mag assoluta sole (4,8 mag)} \\ \text{Mag assoluta galassia} \\ \text{Luminosità galassia} \\ \text{M/M}_S = -2.5 \text{Log(L/L}_S)$$

da cuí  $L=10^{(-0.4(M-M_S))} L_S$ , dove  $10^{(-0.4(M-M_S))}$  è il numero di stelle come il sole (luminosità solari) contenute nella galassia

• È utile, di una galassia, conoscere il raggio efficace

Raggio dell' isofota che contiene metà della luce della galassia.

Si osserva una relazione lineare tra le magnitudini delle galassie e il raggio efficace delle stesse.

#### Problema delle distanze in Astronomia

• Metodo della Parallasse



• Effetto Doppler



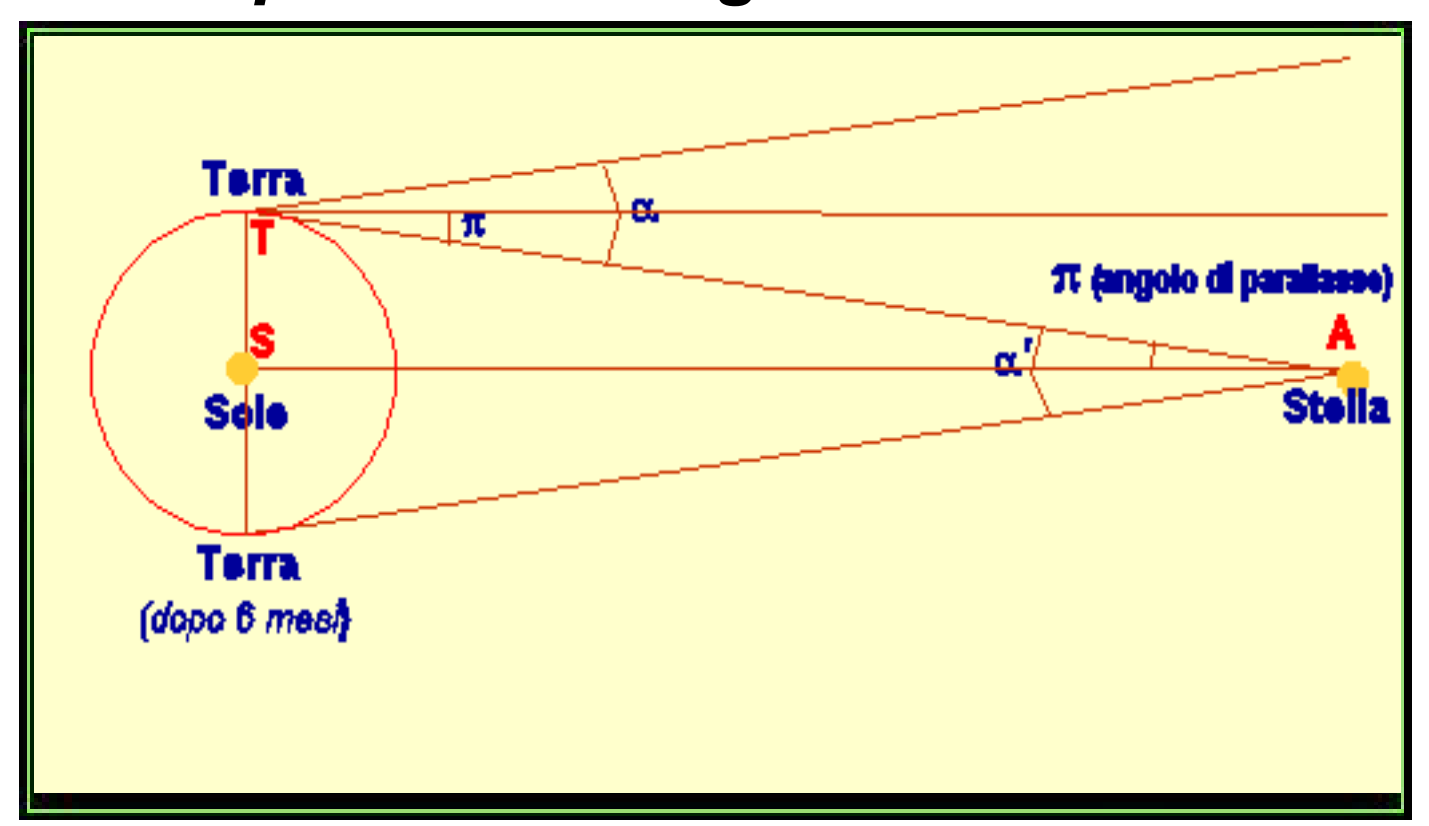
Galassie

#### ANGOLO DI PARALLASSE

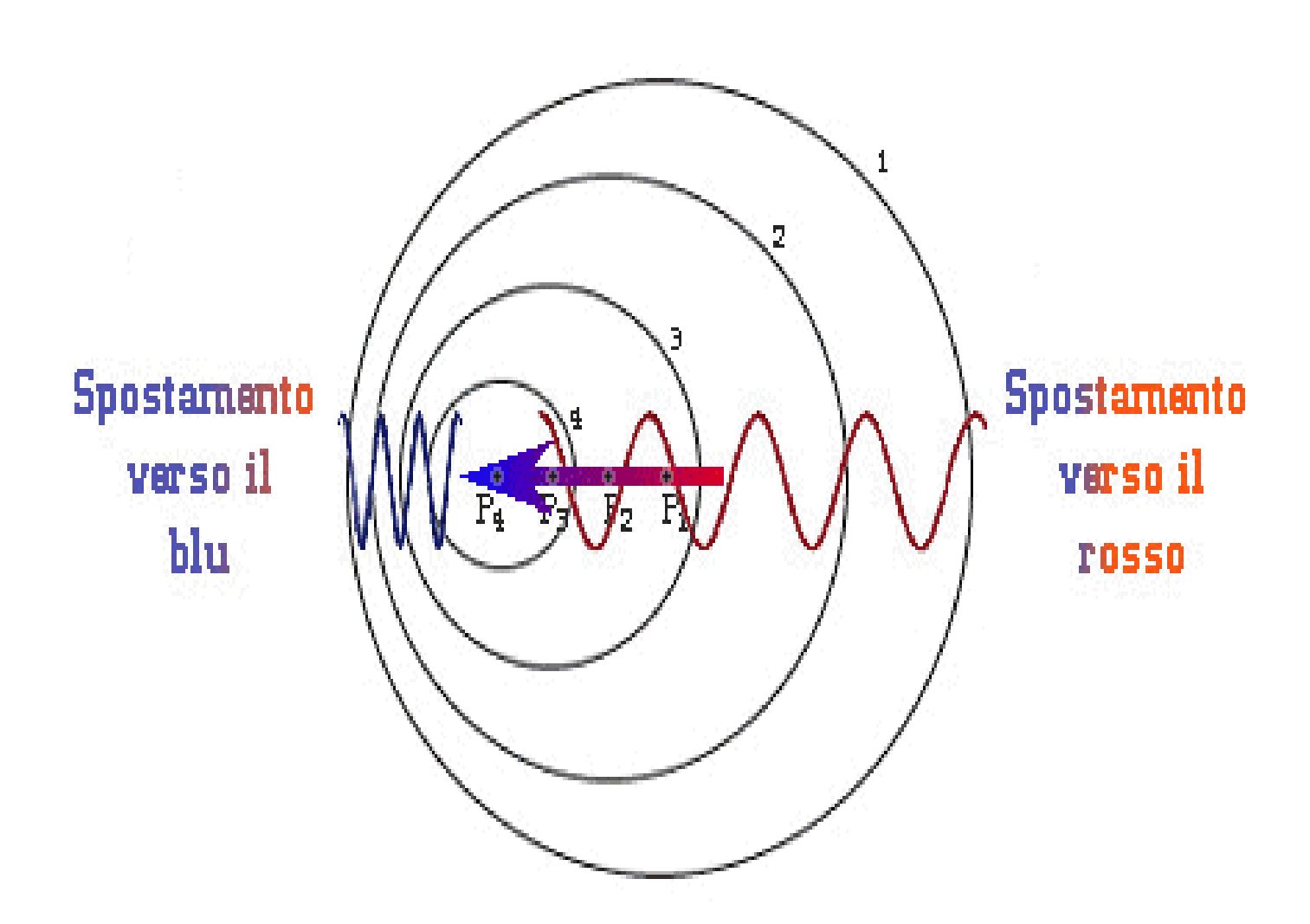
è l'angolo che si forma tra le due linee di vista di due osservatori che guardano uno stesso oggetto, posti ad una certa distanza tra loro.



Per determinare la posizione di una stella ci si serve della triangolazione partendo da due punti che definiscono una linea di base. Questo procedimento viene chiamato parallasse trigonometrica.

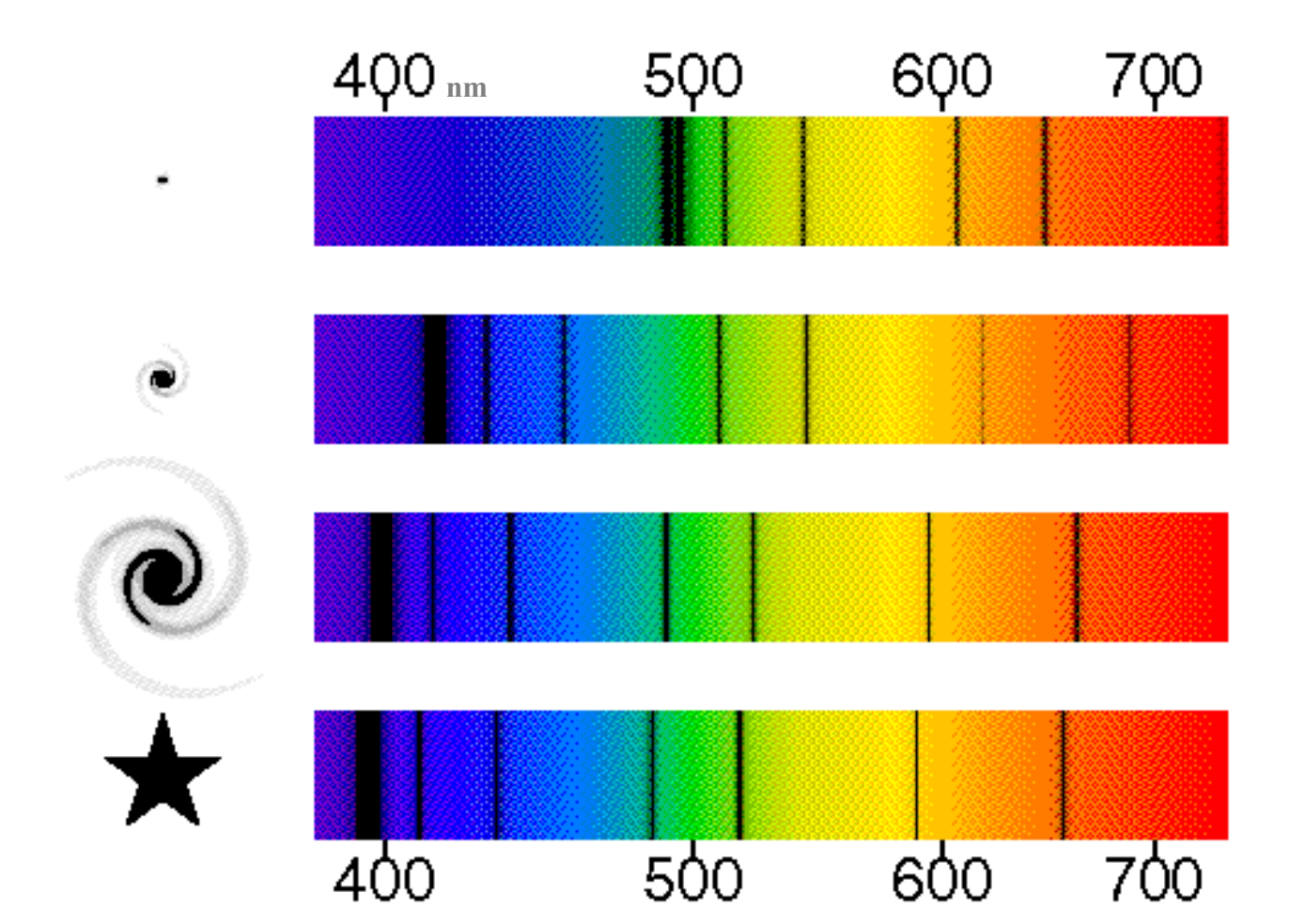


## Effetto doppler



## Redshift

Spostamento dello spettro verso lunghezze d'onda maggiori



# Lo <u>spostamento dello spettro</u> (Δλ) verso lunghezze d'onda maggiori è proporzionale alla <u>velocità di allontanamento</u> (v) dell'oggetto

$$\Delta \lambda = v/c \cdot \lambda$$

Per la legge di Hubble la <u>velocità di allontanamento</u> è in relazione con la <u>distanza dell'osservatore</u> (r)

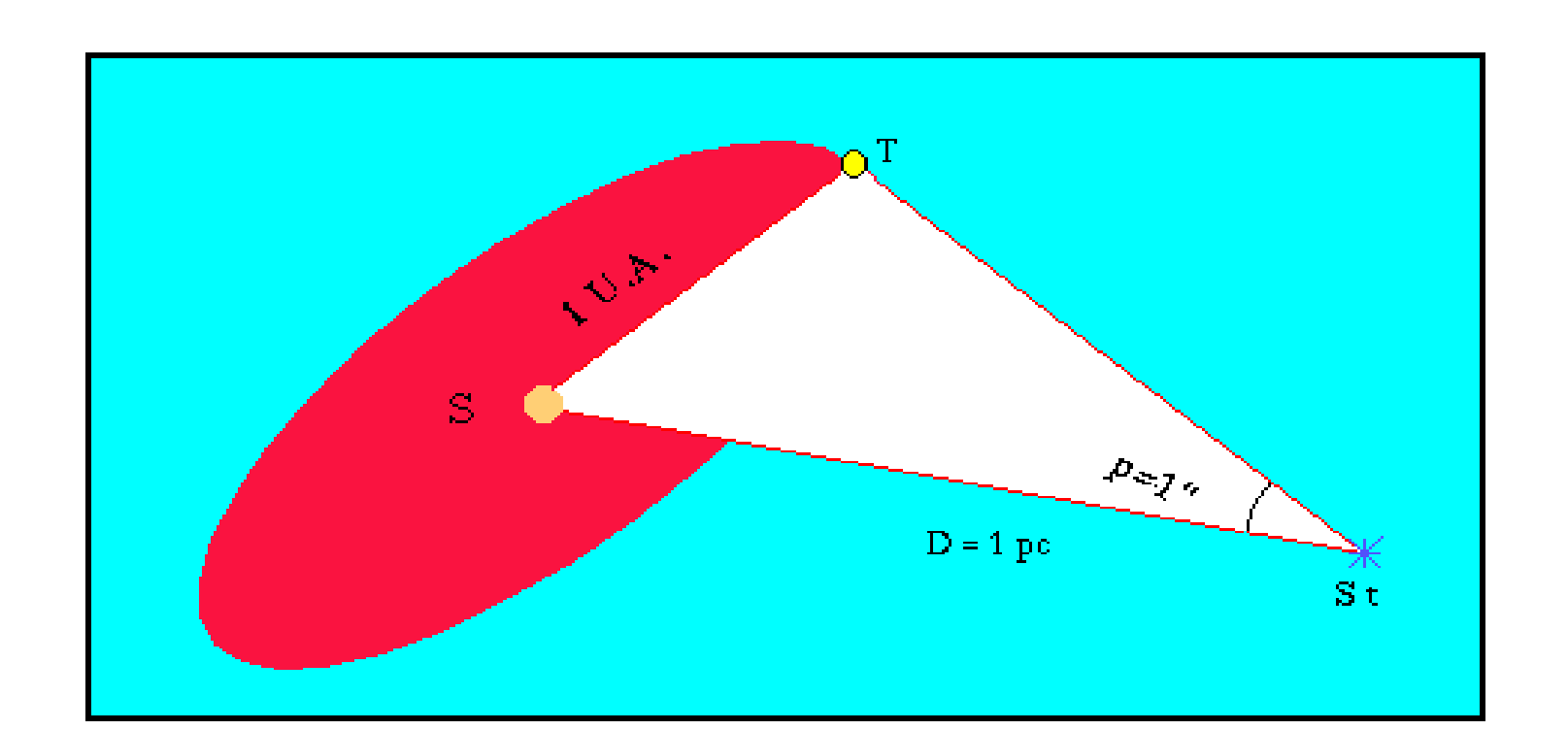
$$\mathbf{v} = \mathbf{H} \cdot \mathbf{r}$$

H: costante di Hubble (75 Km/s·Mpc)

### Parsec (pc)

distanza alla quale un'unità astronomica (UA) sottende un arco di 1"

1 pc = 
$$3,2558$$
 a.l. =  $3,0857 \cdot 10^{16}$  m



#### Morfologia delle galassie

### 1939 Hubble presenta uno schema di classificazione morfologica delle galassie

- □ Ellittiche, la loro forma è ellissoidale e la loro eccentricità è variabile
- Lenticolari, si situano tra le ellittiche e quelle a Spirale hanno forma sferoidale con disco



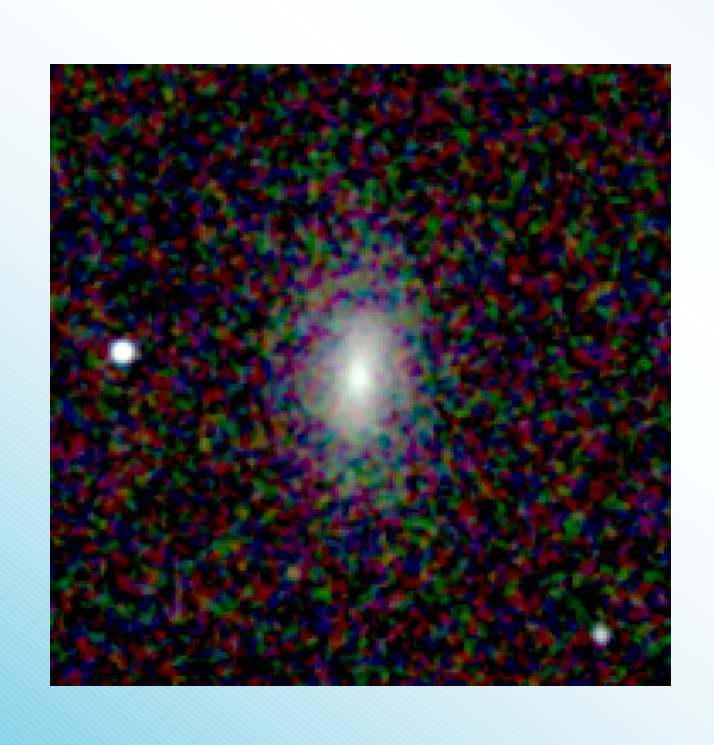
Irregolari, non presentano alcune simmetrie

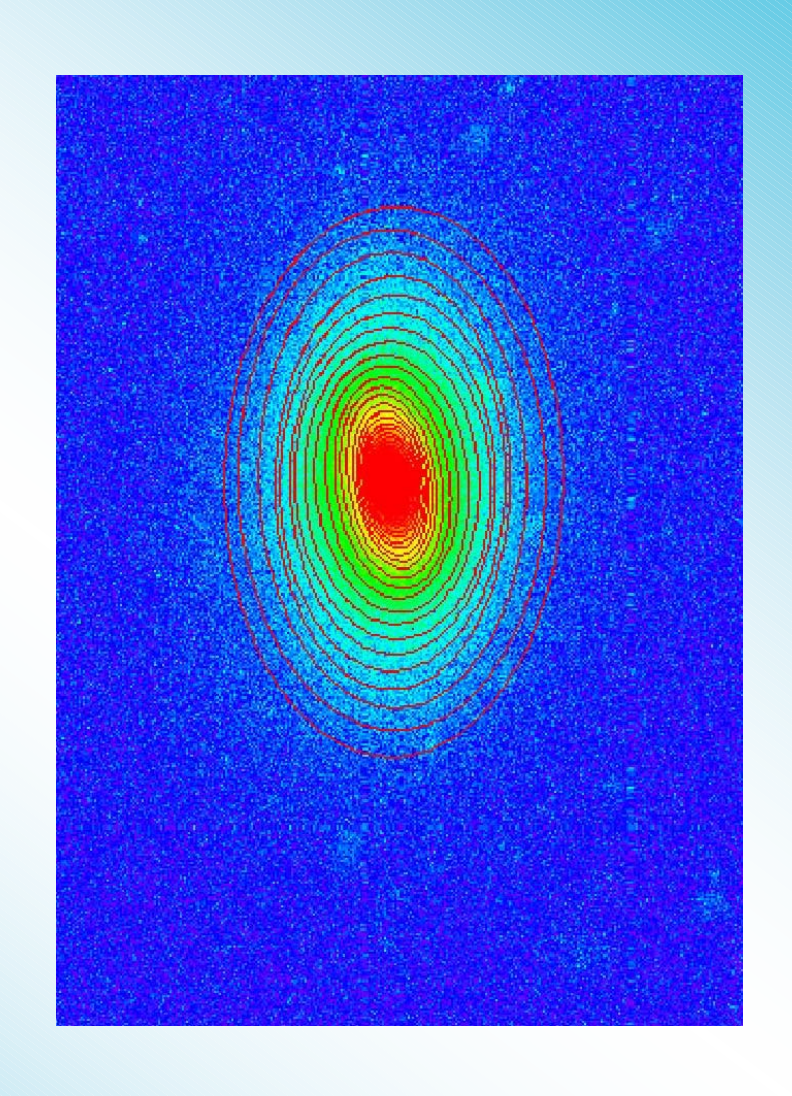
#### Il diagramma di Hubble



# ANALISI RISULTATI

### GALASSIA NGC 4431





	N	M60 = NGC 4431	
Tipo di oggetto	Galassia	Classe	<b>S0</b>
Ammasso	Vergine	Distanza	18.3 Mpc
R.A.	12h 27m	Dec.	12° 17'25''

Mag. NASA

Mag. Assoluta

arcsec

**Re** 17.3

13.72 mag

-20.26 mag

 $1.05 \times 10^{10}$ 

N° stelle

come il sole

27.3s

11 mag

1.7 x 1.1'

934 Km/s

Mag.

Misurata

**Diametro** 

(arcmin)

Velocità

radiale

#### I NOSTRI DATI NGC 4431

#### Semiasse Maggiore

2,35

2,41

2,47

2,53

2,59

2,65

2,71

2,78

2,85

0,5095

0,5192

0,5192

0,5035

0,4810

0,4625

0,4348

0,4027

0,3831

0,0057

0,0050

0,0058

0,0052

0,0045

0,0054

0,0055

0,0086

0,0072

7,49

7,97

8,51

8,51

8,28

7,00

4,96

4,96

2,11

0,44

0,39

0,45

0,41

0,37

0,45

0,48

0,79

0,68

30,58

33,64

37,00

40,70

44,77

49,25

54,17

59,59

65,55

	R <sub>1/4</sub>	 	Ellitticità		Angolo	di po	sizion	e	Scala	•	Mag	nitudine	Galass	sia
SMA	RSMA	ELLIP	ELLIP_ERR	PA	PA_ERR	<b>X</b> 0	<b>Y</b> 0	MAG_LERR	MAG_UERR	TMAG_E	TMAG_C	RADIUS	MAG	MAG
pixel				degrees	degrees	pixel	pixel							
6,05	1,57	0,2574	0,0144	2,23	1,88	155,95	287,36	0,00282	0,00281	15,5	15,2	2,123550	20,5	18,8
6,66	1.61	0,2546	0,0170	2,93	2,21	155,96	287,33	0,00360	0,00359	15,3	15,0	2,335905	20,5	18,8

SMA	RSMA	ELLIP	ELLIP_ERR	PA	PA_ERR	X0	Y0	MAG_LERR	MAG_UERR	TMAG_E	TMAG_C	RADIUS	MAG	MAC
pixel				degrees	degrees	pixel	pixel							
6,05	1,57	0,2574	0,0144	2,23	1,88	155,95	287,36	0,00282	0,00281	15,5	15,2	2,123550	20,5	18
6,66	1,61	0,2546	0,0170	2,93	2,21	155,96	287,33	0,00360	0,00359	15,3	15,0	2,335905	20,5	18
7,32	1,64	0,2691	0,0130	3,45	1,61	155,95	287,32	0,00302	0,00301	15,1	14,8	2,569496	20,6	18
8.05	1 60	0.2902	0.0096	382	1 1 1	155.94	287.36	0.00227	0.00227	150	14.7	2826445	20.6	10

SIVIA	ROWA	LLL	ELLII-EKK	r.a.	I'A_EKK	AU	10	MRQ_LEKK	WAG_CERK	בַרַטאַנוּו	TIVING_C	Kabios	CALVI	WIAN
pixel				degrees	degrees	pixel	pixel							
6,05	1,57	0,2574	0,0144	2,23	1,88	155,95	287,36	0,00282	0,00281	15,5	15,2	2,123550	20,5	18
6,66	1,61	0,2546	0,0170	2,93	2,21	155,96	287,33	0,00 <b>3</b> 60	0,00359	15,3	15,0	2,335905	20,5	18
7,32	1,64	0,2691	0,0130	3,45	1,61	155,95	287,32	0,00302	0,00301	15,1	14,8	2,569496	20,6	18
8,05	1,68	0,2902	0,0096	3,82	1,11	155,94	287,36	0,00227	0,00227	15,0	14,7	2,826445	20,6	18
8,86	1,73	0,3193	0,0115	4,76	1,25	155,91	287,43	0,00270	0,0027	14,9	14,5	3,109090	20,6	18

pixei				degrees	degrees	pixei	pixei							
6,05	1,57	0,2574	0,0144	2,23	1,88	155,95	287,36	0,00282	0,00281	15,5	15,2	2,123550	20,5	18
6,66	1,61	0,2546	0,0170	2,93	2,21	155,96	287,33	0,00 <b>3</b> 60	0,00359	15,3	15,0	2,335905	20,5	18
7,32	1,64	0,2691	0,0130	3,45	1,61	155,95	287,32	0,00302	0,00301	15,1	14,8	2,569496	20,6	18
8,05	1,68	0,2902	0,0096	3,82	1,11	155,94	287,36	0,00227	0,00227	15,0	14,7	2,826445	20,6	18
8,86	1,73	0,3193	0,0115	4,76	1,25	155,91	287,43	0,00270	0,0027	14,9	14,5	3,109090	20,6	18
9,74	1,77	0,3368	0,0110	6,46	1,13	155,88	287,52	0,00281	0,0028	14,7	14,4	3,419999	20,7	18
10,72	1,81	0,3386	0,0085	6,36	0,88	155,89	287,33	0,00242	0,00242	14,5	14,2	3,761998	20,7	18

6,66	1,61	0,2546	0,0170	2,93	2,21	155,96	287,33	0,00360	0,00359	15,3	15,0	2,335905	20,5	18,
7,32	1,64	0,2691	0,0130	3,45	1,61	155,95	287,32	0,00302	0,00301	15,1	14,8	2,569496	20,6	18,
8,05	1,68	0,2902	0,0096	3,82	1,11	155,94	287,36	0,00227	0,00227	15,0	14,7	2,826445	20,6	18,
8,86	1,73	0,3193	0,0115	4,76	1,25	155,91	287,43	0,00270	0,0027	14,9	14,5	3,109090	20,6	18,
9,74	1,77	0,3368	0,0110	6,46	1,13	155,88	287,52	0,00281	0,0028	14,7	14,4	3,419999	20,7	18,
10,72	1,81	0,3386	0,0085	6,36	0,88	155,89	287,33	0,00242	0,00242	14,5	14,2	3,761998	20,7	18,
11,79	1.85	0,3659	0,0067	5,21	0,65	155,88	287,26	0,00227	0,00227	14,4	14.0	4,138198	20,8	18.

7,74	1,77	0,3360	0,0110	6,46	1,13	100,00 207,02	0,00261	0,0026	14,7	14,4	3,417777	20,7	18,
10,72	1,81	0,3386	0,0085	6,36	0,88	155,89 287,33	0,00242	0,00242	14,5	14,2	3,761998	20,7	18,
11,79	1,85	0,3659	0,0067	5,21	0,65	155,88 287,26	0,00227	0,00227	14,4	14,0	4,138198	20,8	18,
12,97	1,90	0,3837	0,0088	6,02	0,83	155,87 287,30	0,00245	0,00244	14,3	13,9	4,552018	20,8	18,
14,27	1,94	0,4167	0,0070	5,37	0,62	155,83 287,41	0,00235	0,00234	14,2	13,7	5,007220	20,9	18,
1569	1 00	0.4324	0.0067	563	0.59	155 82 287 63	0.00217	0.00217	140	13.6	5 507942	20.9	10

1	1,00	-1	-	-1	-1	,		*1***	7,7722.	1 -	11,0	-1		
12,97	1,90	0,3837	0,0088	6,02	0,83	155,87   281	7,30	0,00245	0,00244	14,3	13,9	4,552018	20,8	18
14,27	1,94	0,4167	0,0070	5,37	0,62	155,83 287	7,41	0,00235	0,00234	14,2	13,7	5,007220	20,9	18
15,69	1,99	0,4324	0,0067	5,63	0,59	155,82 287	7,63	0,00217	0,00217	14,0	13,6	5,507942	20,9	19
17,26	2,04	0,4276	0,0063	6,39	0,55	155,89 283	7,49	0,00219	0,00218	13,9	13,4	6,058736	21,0	19
18 99	2.00	0.4491	0.0069	716	0.58	155.86 28	7.57	0.00256	0.00256	137	12.2	6.664610	21.0	10

14,2/	1,94	[0,416/]	0,0070	5,37	0,62	155,83	[287,41]	0,00235	0,00234	14,2	13,7	5,007.220	20,9	, 11
15,69	1,99	0,4324	0,0067	5,63	0,59	155,82	287,63	0,00217	0,00217	14,0	13,6	5,507942	20,9	19
17,26	2,04	0,4276	0,0063	6,39	0,55	155,89	287,49	0,00219	0,00218	13,9	13,4	6,058736	21,0	1!
18,99	2,09	0,4491	0,0069	7,16	0,58	155,86	287,57	0,00256	0,00256	13,7	13,3	6,664610	21,0	19
20,89	2,14	0,4622	0,0052	7,01	0,43	155,89	287,61	0,00226	0,00225	13,6	13,1	7,331071	21,1	19

									•		,			
15,69	1,99	0,4324	0,0067	5,63	0,59	155,82	287,63	0,00217	0,00217	14,0	13,6	5,507942	20,9	19
17,26	2,04	0,4276	0,0063	6,39	0,55	155,89	287,49	0,00219	0,00218	13,9	13,4	6,058736	21,0	19
18,99	2,09	0,4491	0,0069	7,16	0,58	155,86	287,57	0,00256	0,00256	13,7	13,3	6,664610	21,0	19
20,89	2,14	0,4622	0,0052	7,01	0,43	155,89	287,61	0,00226	0,00225	13,6	13,1	7,331071	21,1	19

15,69	1,99	0,4324	0,0067	5,63	0,59	155,82 28	57,63	0,00217	0,00217	14,0	13,6	5,507942	20,9	19
17,26	2,04	0,4276	0,0063	6,39	0,55	155,89 28	37,49	0,00219	0,00218	13,9	13,4	6,058736	21,0	19
18,99	2,09	0,4491	0,0069	7,16	0,58	155,86 28	37,57	0,00256	0,00256	13,7	13,3	6,664610	21,0	19
20,89	2,14	0,4622	0,0052	7,01	0,43	155,89 28	37,61	0,00226	0,00225	13,6	13,1	7,331071	21,1	19
22,97	2,19	0,4780	0,0047	7,09	0,38	155,96 28	37,31	0,00231	0,00231	13,5	13,0	8,064178	21,1	19

14,27	1,94	0,4167	0,0070	5,37	0,62	155,83	287,41	0,00235	0,00234	14,2	13,7	5,007220	20,9	18
15,69	1,99	0,4324	0,0067	5,63	0,59	155,82	287,63	0,00217	0,00217	14,0	13,6	5,507942	20,9	19
17,26	2,04	0,4276	0,0063	6,39	0,55	155,89	287,49	0,00219	0,00218	13,9	13,4	6,058736	21,0	19
18,99	2,09	0,4491	0,0069	7,16	0,58	155,86	287,57	0,00256	0,00256	13,7	13,3	6,664610	21,0	19
20.89	214	0.4622	0.0052	7.01	0.43	155.89	287.61	0.00226	0.00225	13.6	13.1	7.331071	21.1	19

10,99	2,09	0,4491	0,0069	7,16	0,56	155,06 207,5	0,00256	0,00256	15,7	13,3	6,664610	21,0	19,
20,89	2,14	0,4622	0,0052	7,01	0,43	155,89 287,6	0,00226	0,00225	13,6	13,1	7,331071	21,1	19,
22,97	2,19	0,4780	0,0047	7,09	0,38	155,96 287,3	0,00231	0,00231	13,5	13,0	8,064178	21,1	19,1
25,27	2,24	0,4953	0,0049	7,47	0,39	155,94 287,5	0,00210	0,0021	13,3	12,8	8,870597	21,2	19,1
27,80	2,30	0,5046	0,0048	7,12	0,37	156,07   287,0	0,00249	0,00249	13,2	12,7	9,757657	21,2	19,

156,06 287,39

155,92 287,12

156,00 287,32

155,59 287,93

155,81 287,47

156,03 287,25

155,63 287,79

155,72 286,78

155,70 287,42

17,26	2,04	0,4276	0,0063	6,39	0,55	155,89	287,49	0,00219	0,00218	13,9	13,4	6,058736	21,0	19,
18,99	2,09	0,4491	0,0069	7,16	0,58	155,86	287,57	0,00256	0,00256	13,7	13,3	6,664610	21,0	19,
20,89	2,14	0,4622	0,0052	7,01	0,43	155,89	287,61	0,00226	0,00225	13,6	13,1	7,331071	21,1	19,
22,97	2,19	0,4780	0,0047	7,09	0,38	155,96	287,31	0,00231	0,00231	13,5	13,0	8,064178	21,1	19,

0,4622	0,0052	7,01	0,43	155,89 2	287,61	0,00226	0,00225	13,6	13,1	7,331071	21,1	
0,4780	0,0047	7,09	0,38	155,96	287,31	0,00231	0,00231	13,5	13,0	8,064178	21,1	
0,4953	0,0049	7,47	0,39	155,94 2	287,52	0,00210	0,0021	13,3	12,8	8,870597	21,2	
0,5046	0,0048	7,12	0,37	156,07 2	287,08	0,00249	0,00249	13,2	12,7	9,757657	21,2	

0,0024

0,00227

0,00265

0,00244

0,00224

0,00237

0,00225

0,00248

0,00227

13,0

12,9

12,8

12,6

12,4

12,2

12,0

11,8

11,7

10,733420

11,806770

12,987440

14,286190

15,714810

17,286290

19,014920

20,916410

23,008050

12,5

12,4

12,2

12,1

11,9

11,8

11,6

11,5

11,3

21,3

21,3

21,4

21,5

21,5

21,6

21,7

21,8

21,9

19,

19,

19,

19,

19,

19,

19,

19,

19.

0,00241

0,00228

0,00266

0,00245

0,00225

0,00237

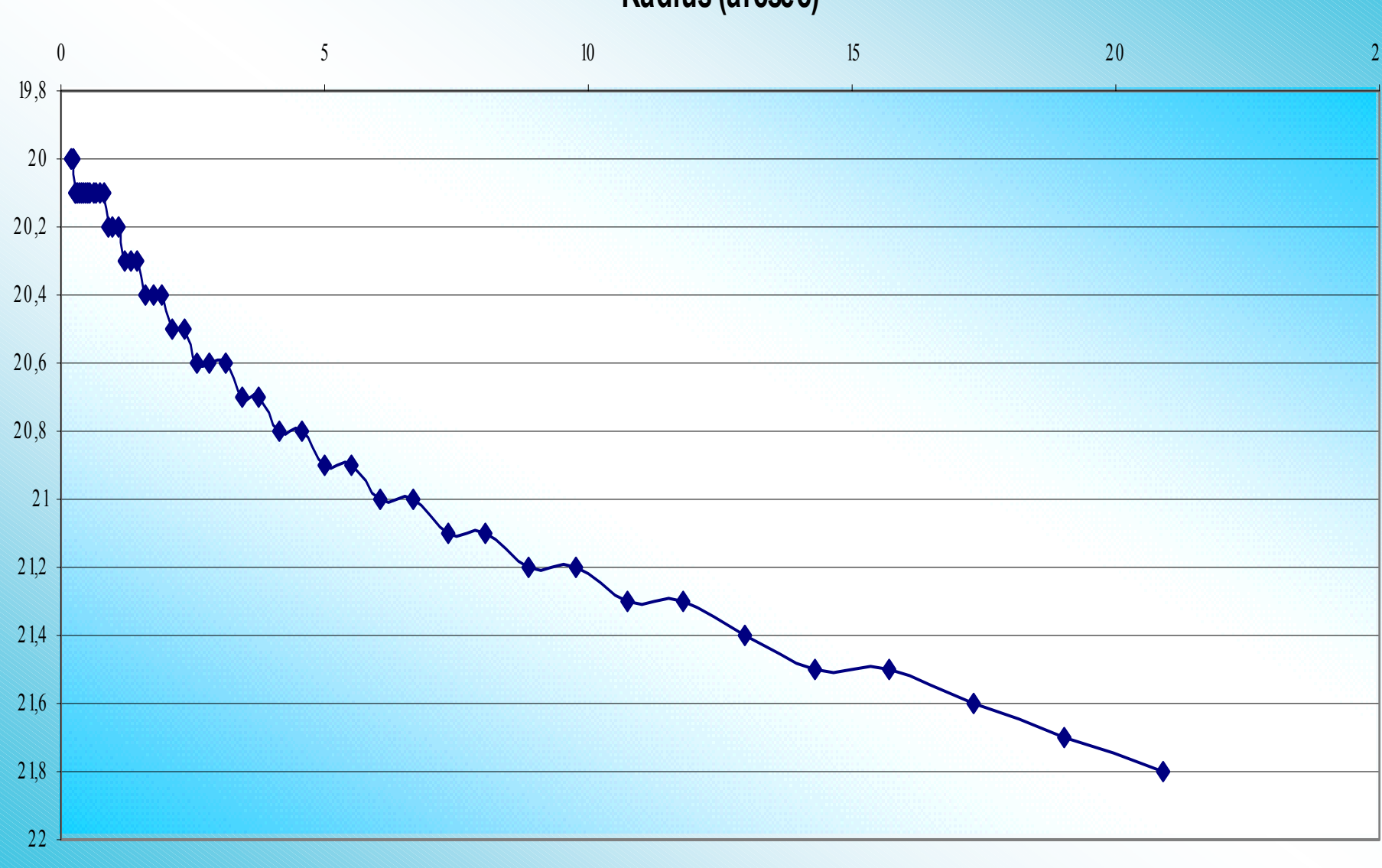
0,00226

0,00248

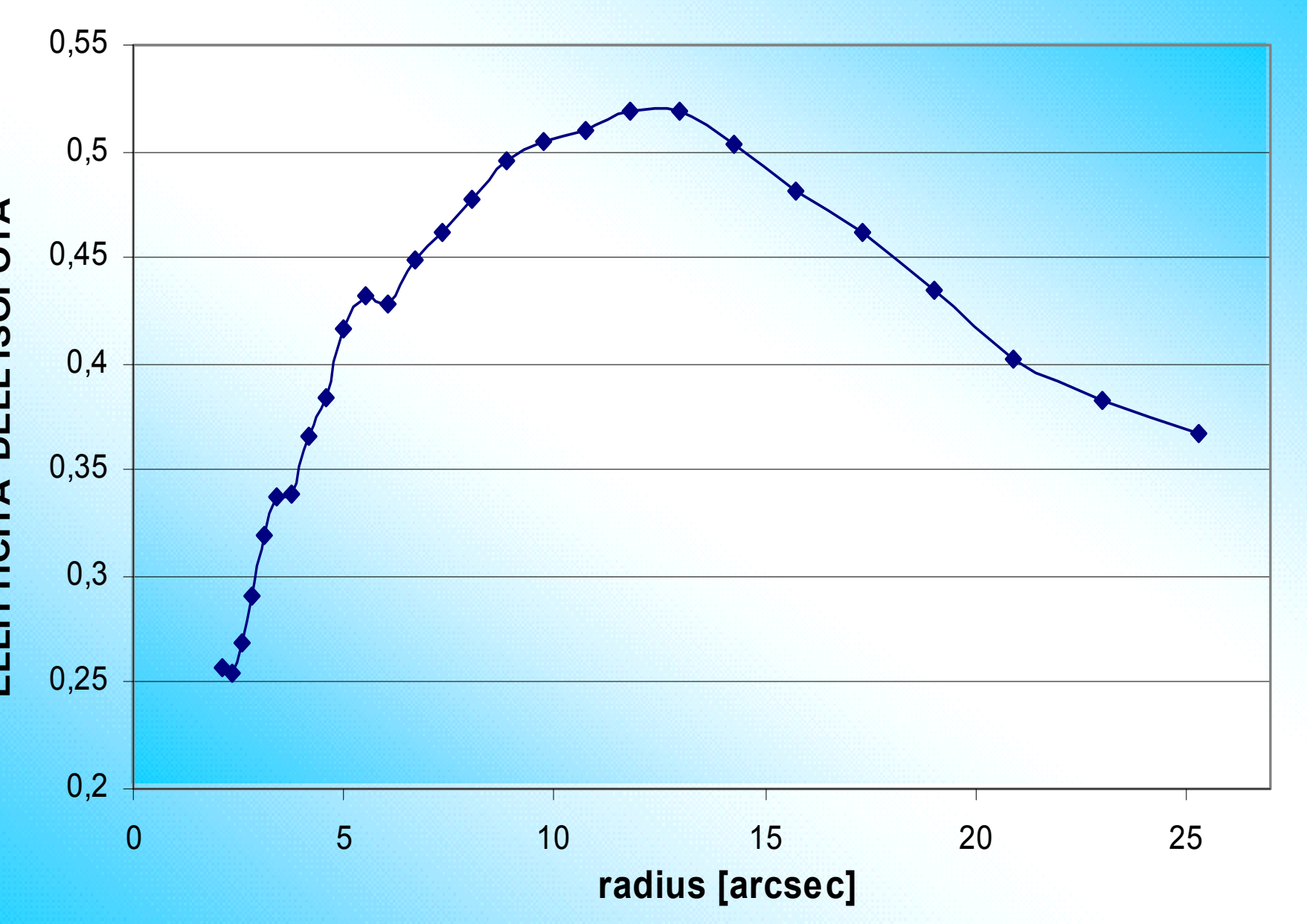
0,00227

#### Profilo di brillanza di NGC4431

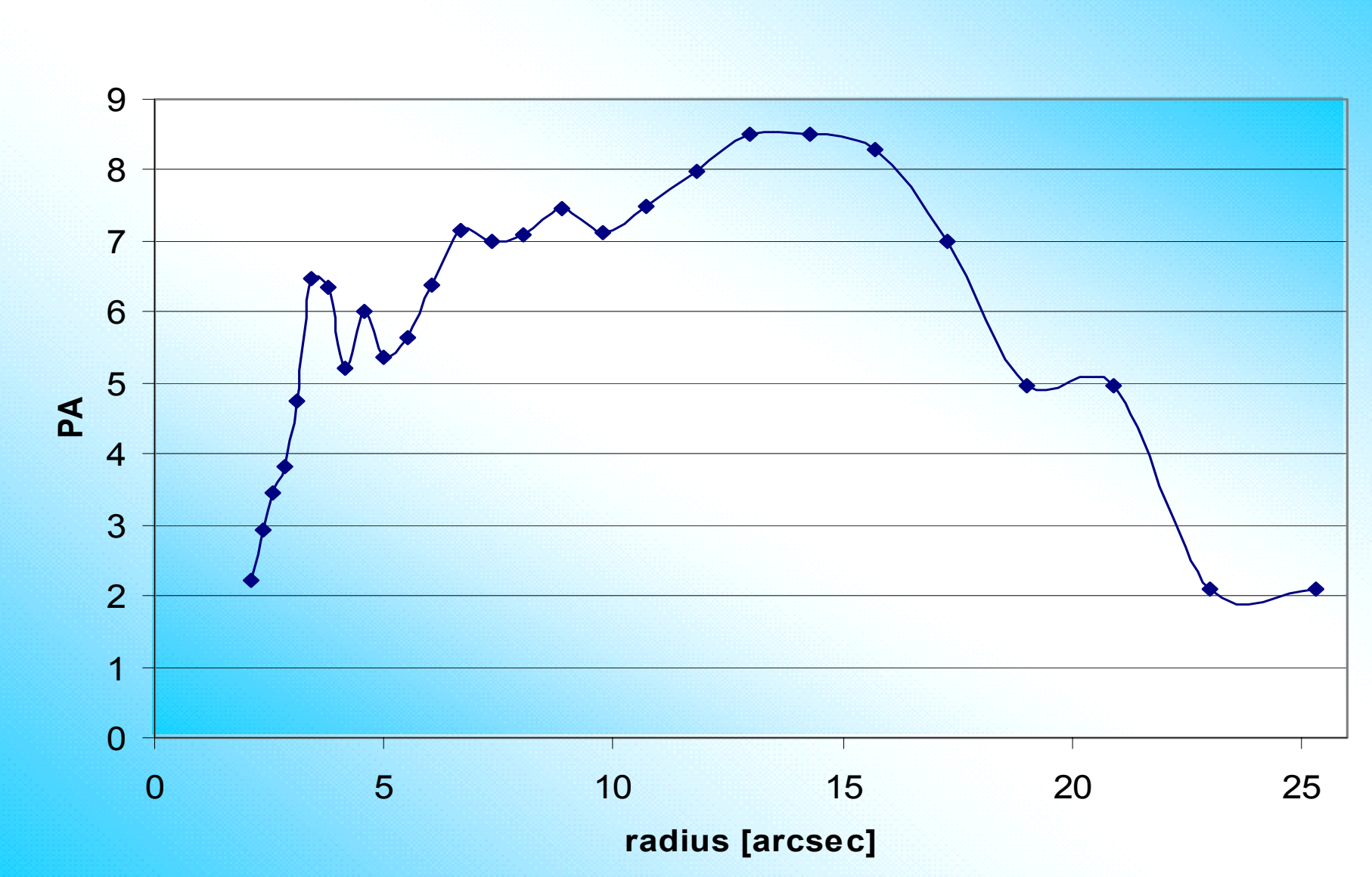
Radius (arcsec)



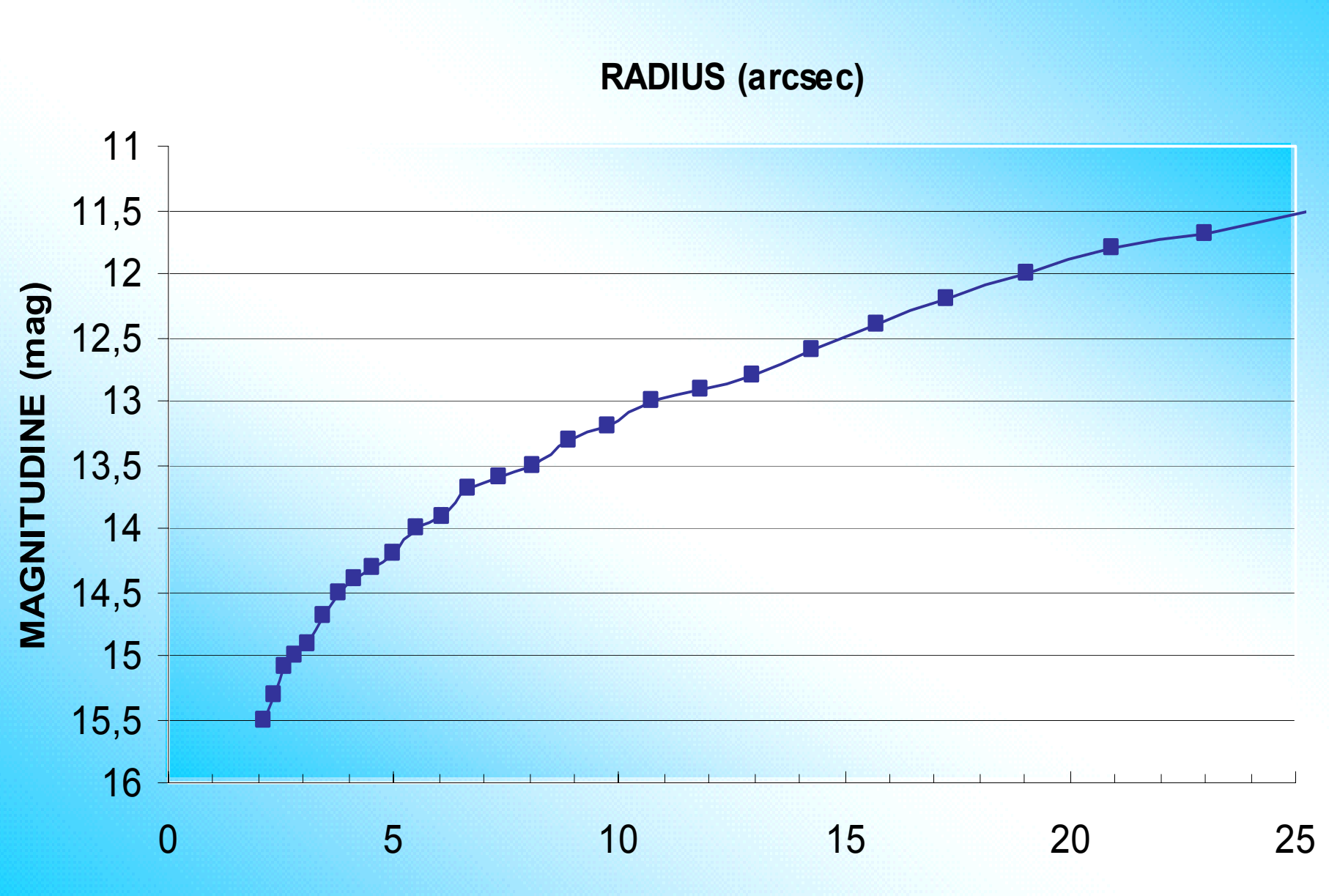
#### **VARIAZIONE DELL'ELLITTICITA' DI NGC 4431**

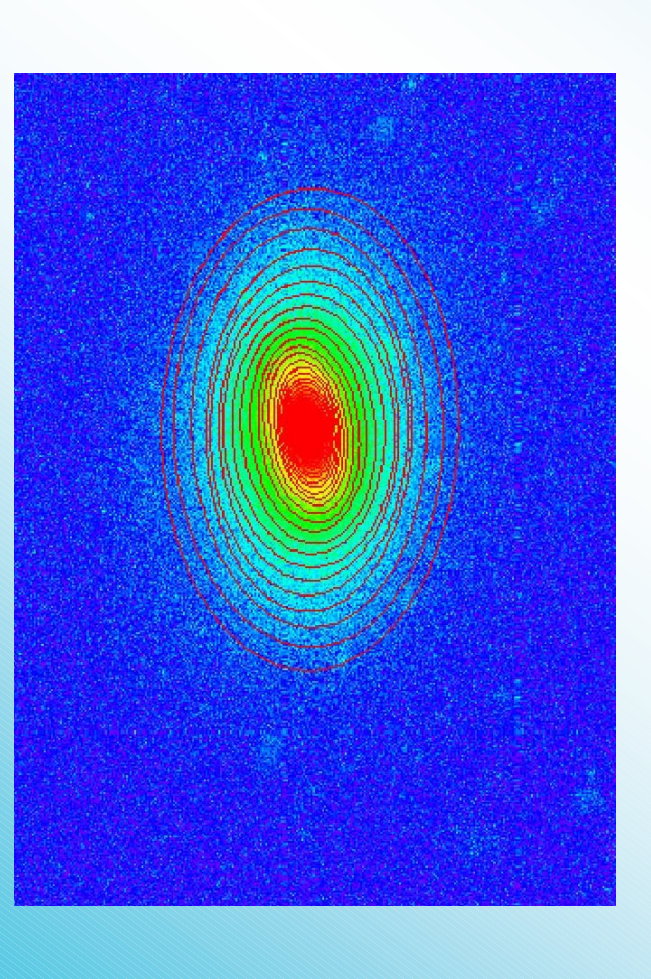


#### VARIAZIONE DELL'ANGOLO DI POSIZIONE DI NGC 4431



#### Curva di crescita di NGC 4431



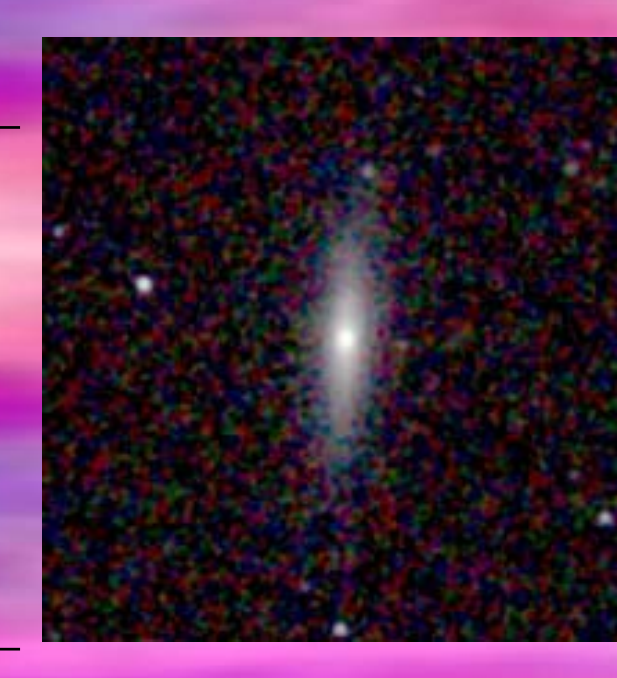


#### Osservazioni

- Si può notare la presenza di polveri (sottrazione di modelli)
- L'ellitticità e l'angolo di posizione presentano consistenti variazioni
- E` molto simile a una galssia ellittica (anche se è 50)
- Non è una galassia molto luminosa

## Galassia NGC4623

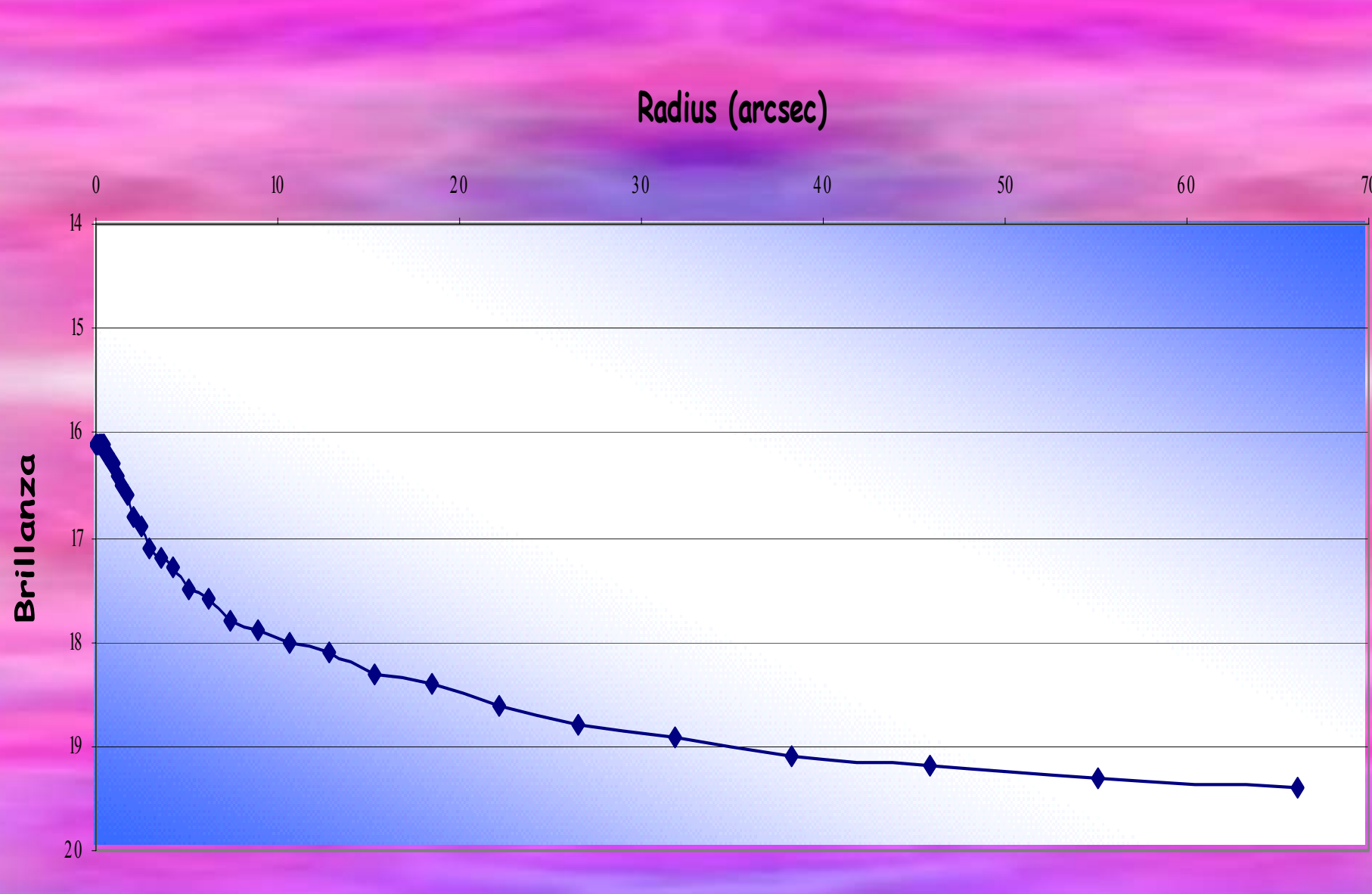
AR	δ	Velocità radiale
12 h 42	+7° 40′	1892
m 10.7 s	37"	km/s
Z	Diametro (arcmin)	Classe
0.00631	2.2 × 0.7	SBO



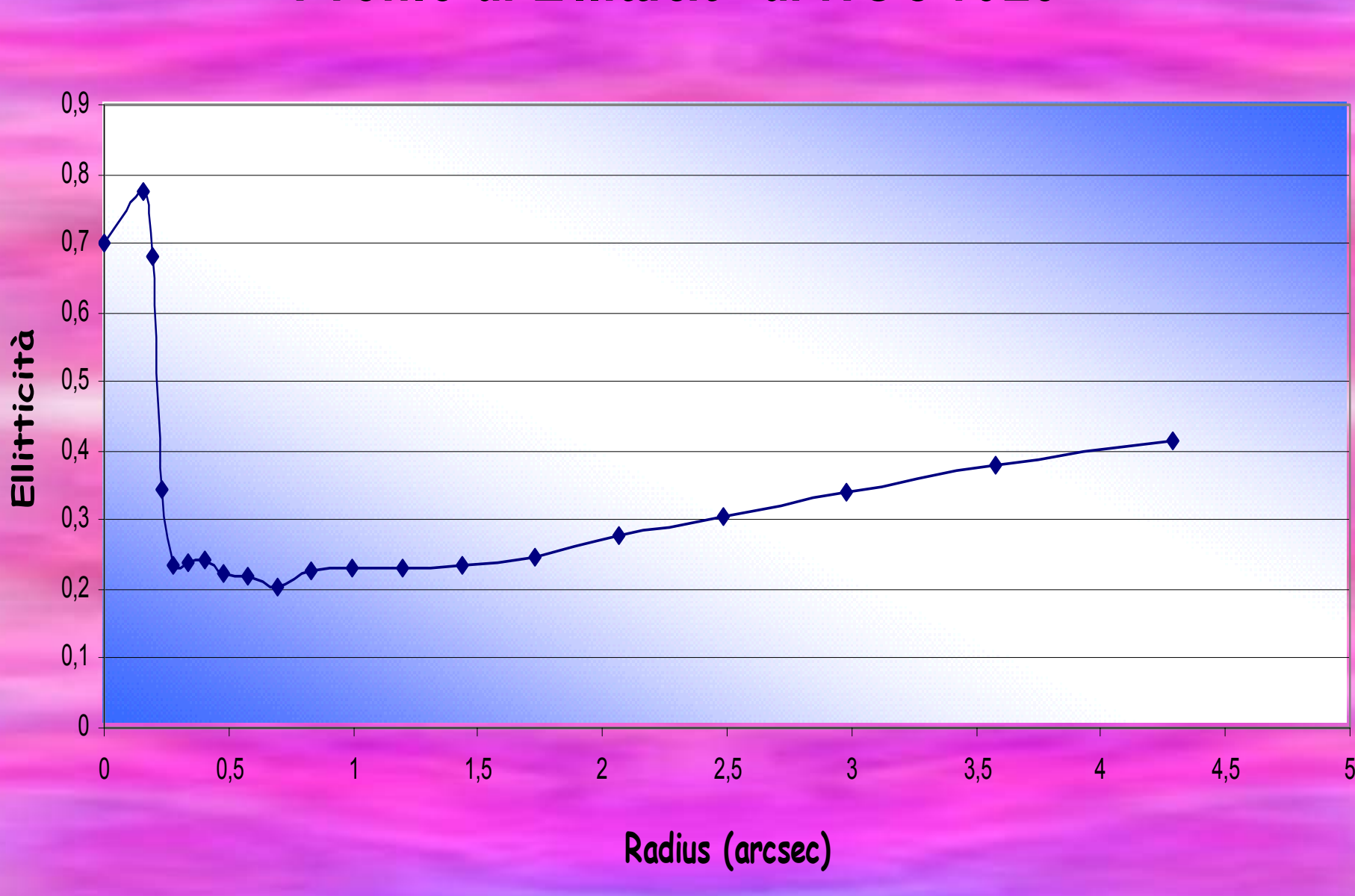
MAGNITUDINE APPARENTE	MAGNITUDINE NASA	MAGNITUDINE ASSOLUTA
14.31	13.24	-17.03
mag	mag	mag

STELLE COME IL SOLE	RAGGIO EFFICACE
5,26 x 10 <sup>8</sup>	22.14 arcsec

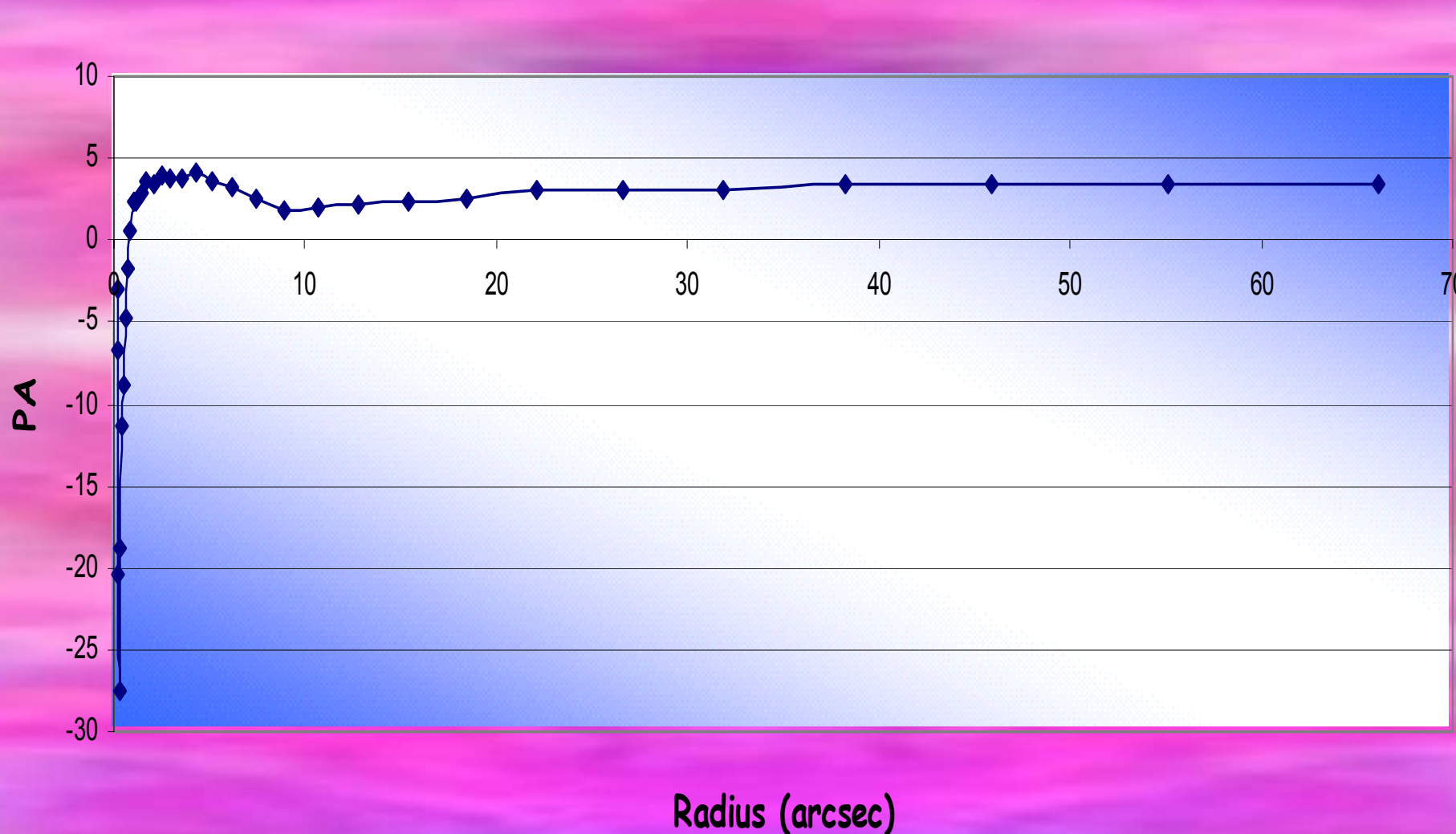
### Profilo di brllanza di NGC 4623



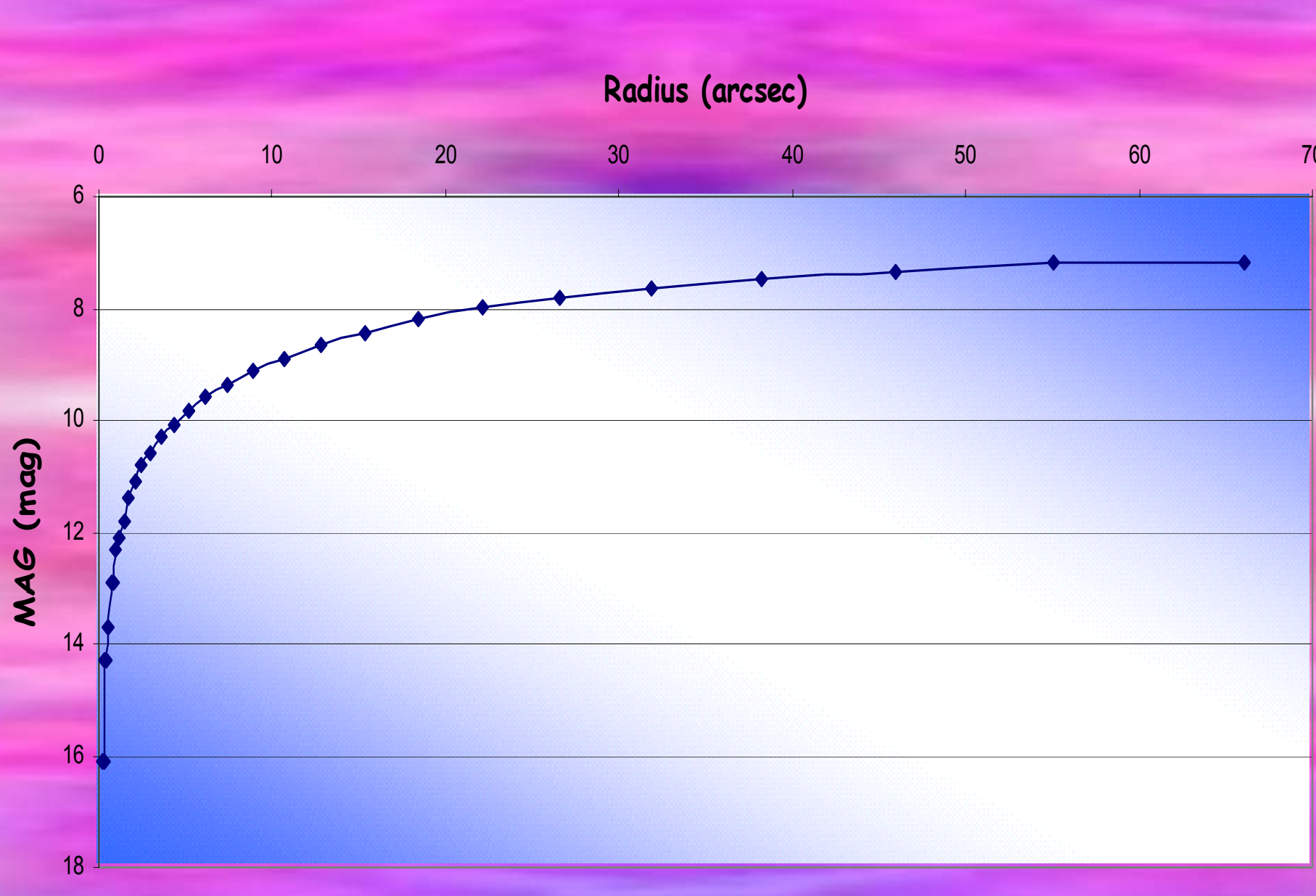
### Profilo di Ellitticità di NGC 4623

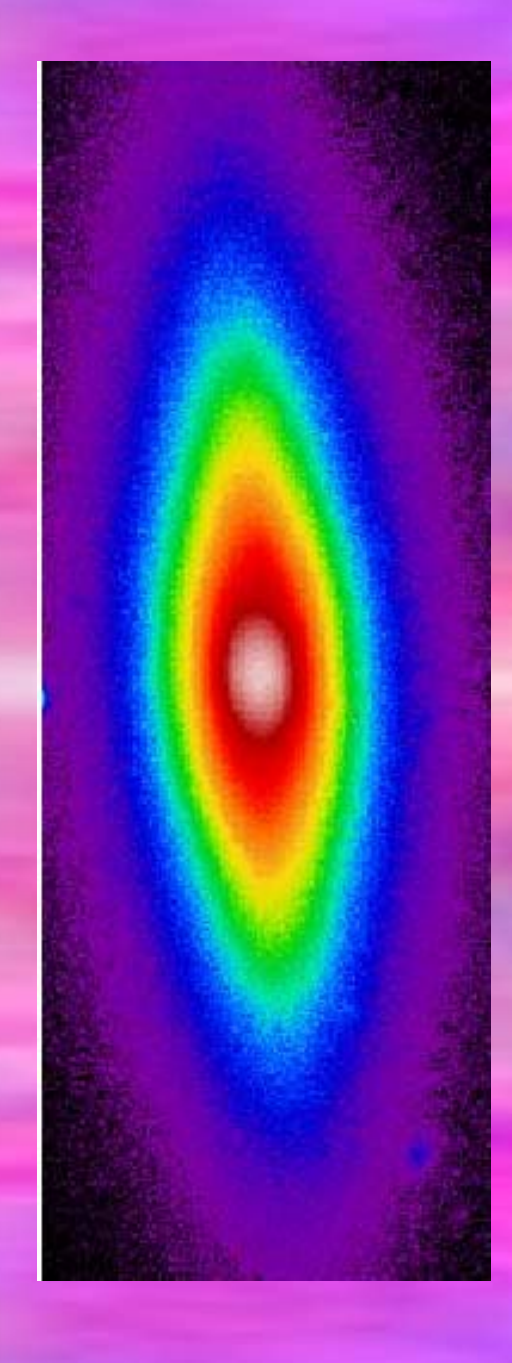


### Variazione dell'angolo di posizione di NGC 4623



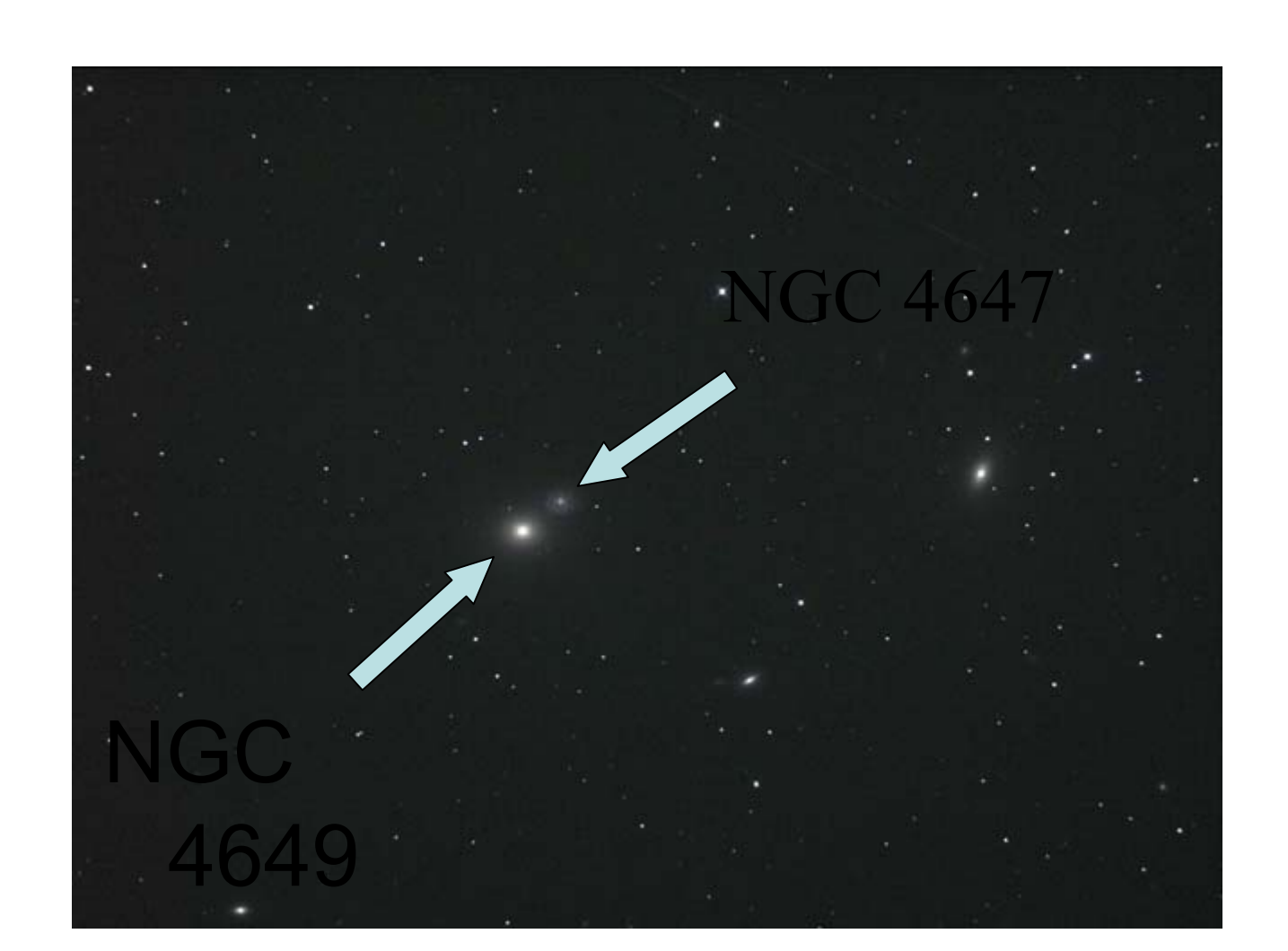
#### Curva di crescita di NGC 4623





- Ha caratteristiche simili alla NGC4570
- Il disco debole, però, poiché presenta uno schiacciamento accentuato, viene generalmente classificata come lenticolare (E7 da alcuni cataloghi)
- L'angolo di posizione è pressochè costante (a eccezione delle isofote più interne)
- L'ellitticità aumenta andando verso l'esterno
- La mappa residua suggerisce la presenza di un disco interno allineato con il corpo centrale della galassia
- E` presente una sorgente appena più intensa dell'ambiente circostante nelle isofote più esterne

## Galassia NGC 4649



### M60 - NCC 1610

	14100 -	TIGC 4	U47
Tipo di	Galassia	Classe	E1 (

Vergine

(2000.0)

8.9 mag

2.0 x 1.8'

Re

1117

Km/s

12h 43.6m

oggetto

R.A.

Ammasso

Mag. Misurata

Diametro

(arcmin)

Velocità

radiale

Distanza

Mag. NASA

N° stelle

come il sole

Dec.

Mag.

43.1

arcsec

Assoluta

Galassia

+11° 33'(2000.0)

 $7.67 \times 10^{10}$ 

ellittica)

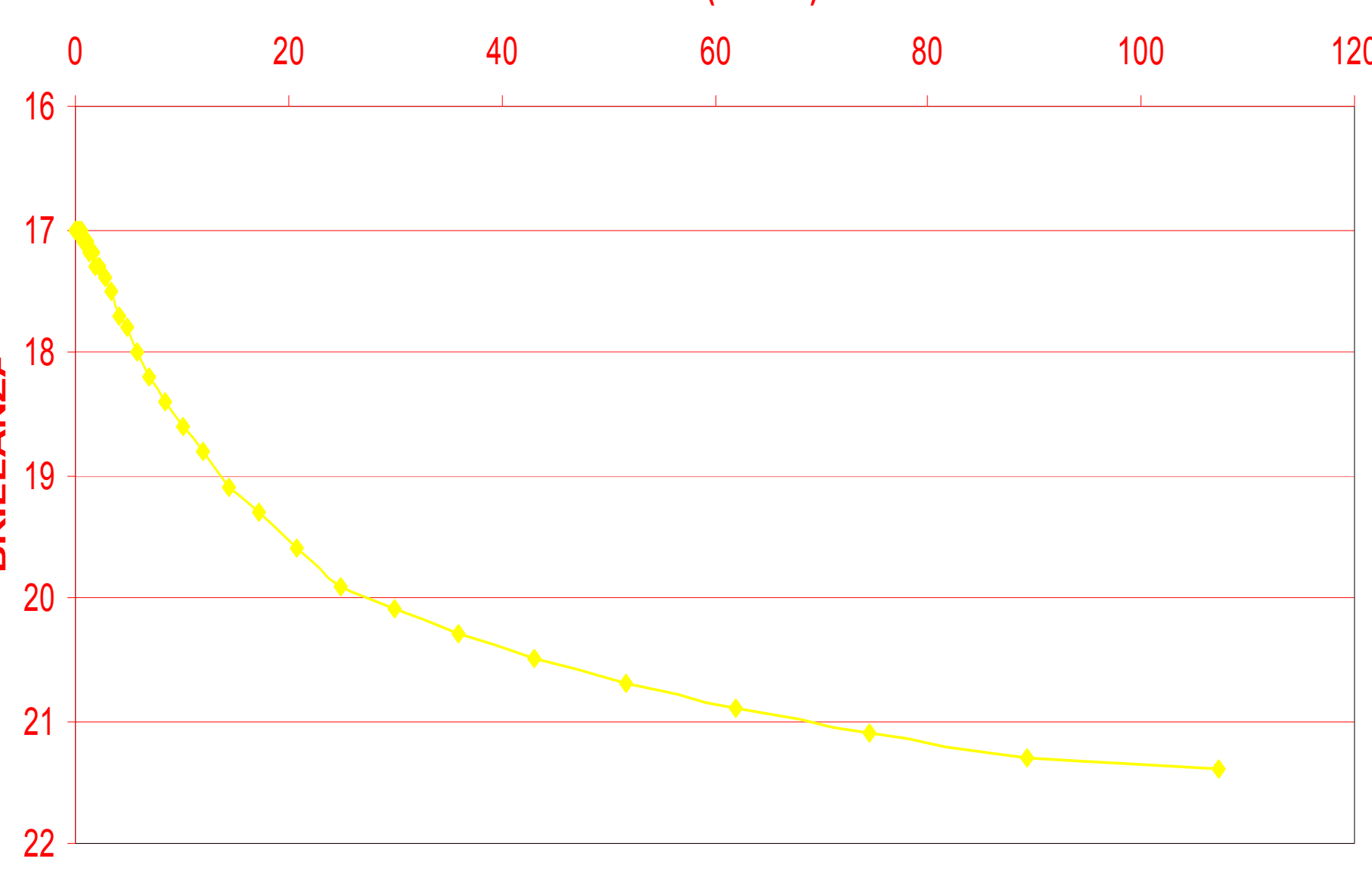
18.3 Mpc

9.81 mag

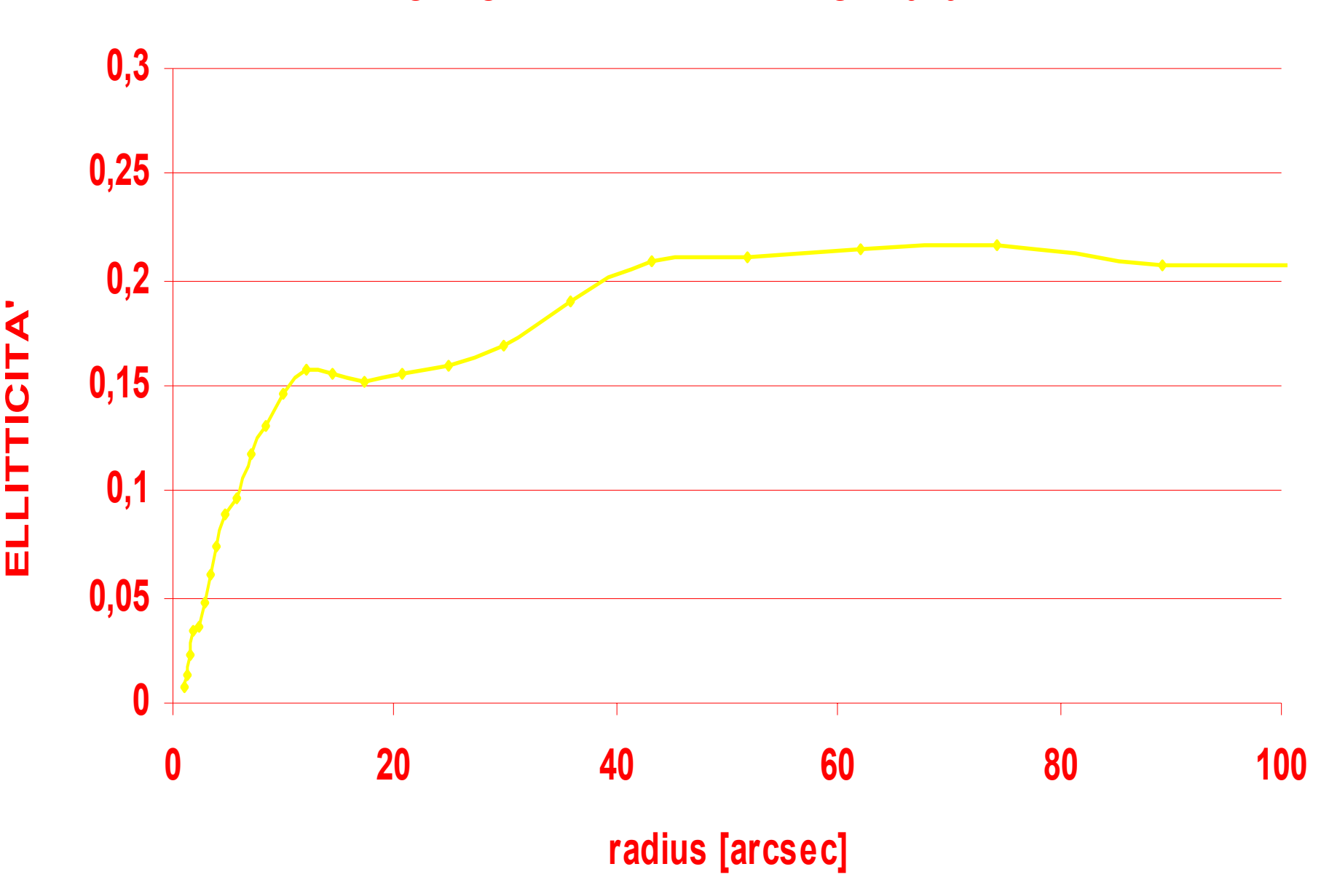
-22.41 mag

### Profilo di brillanza di NGC4649

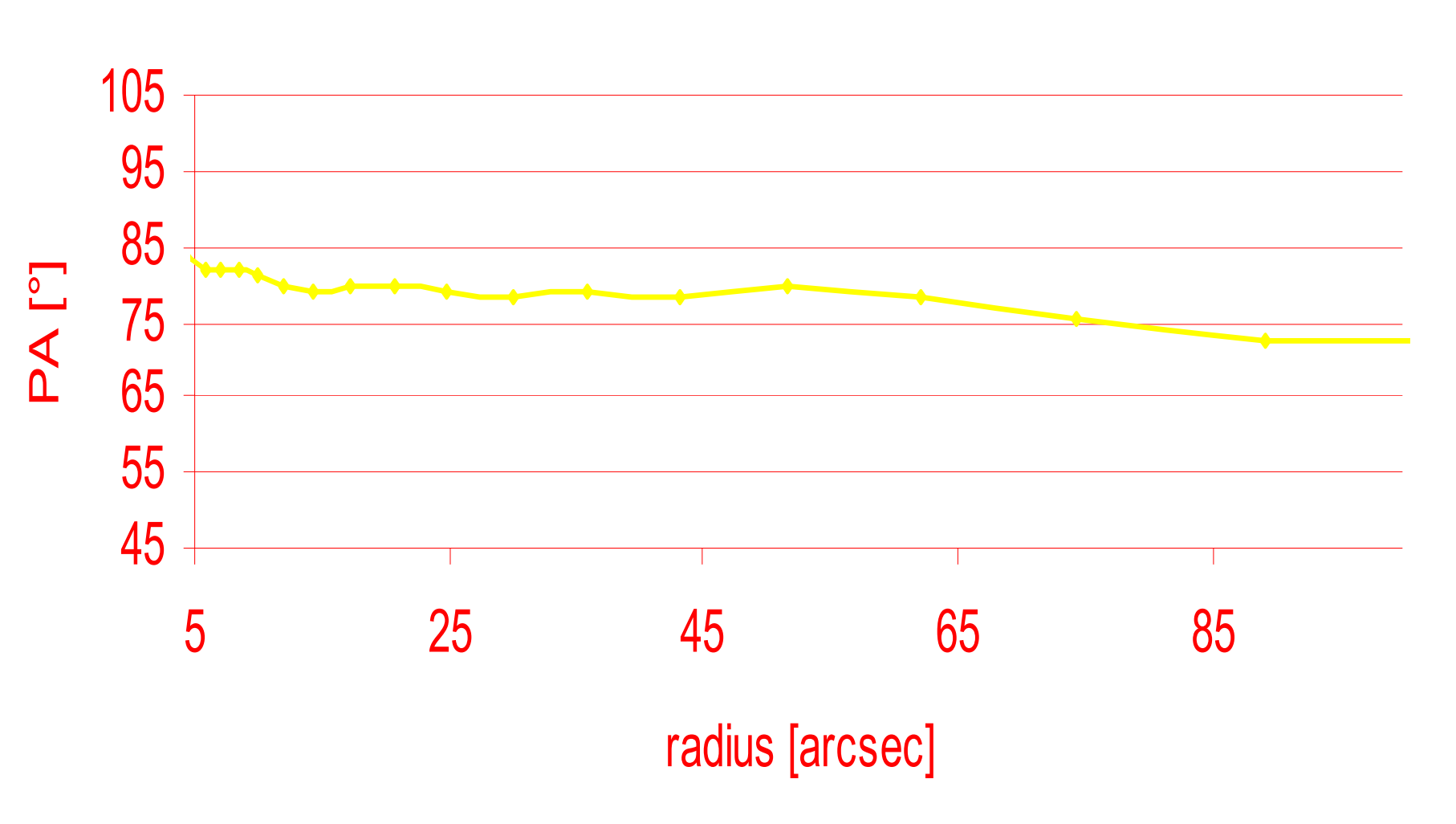
radius (arcsec)



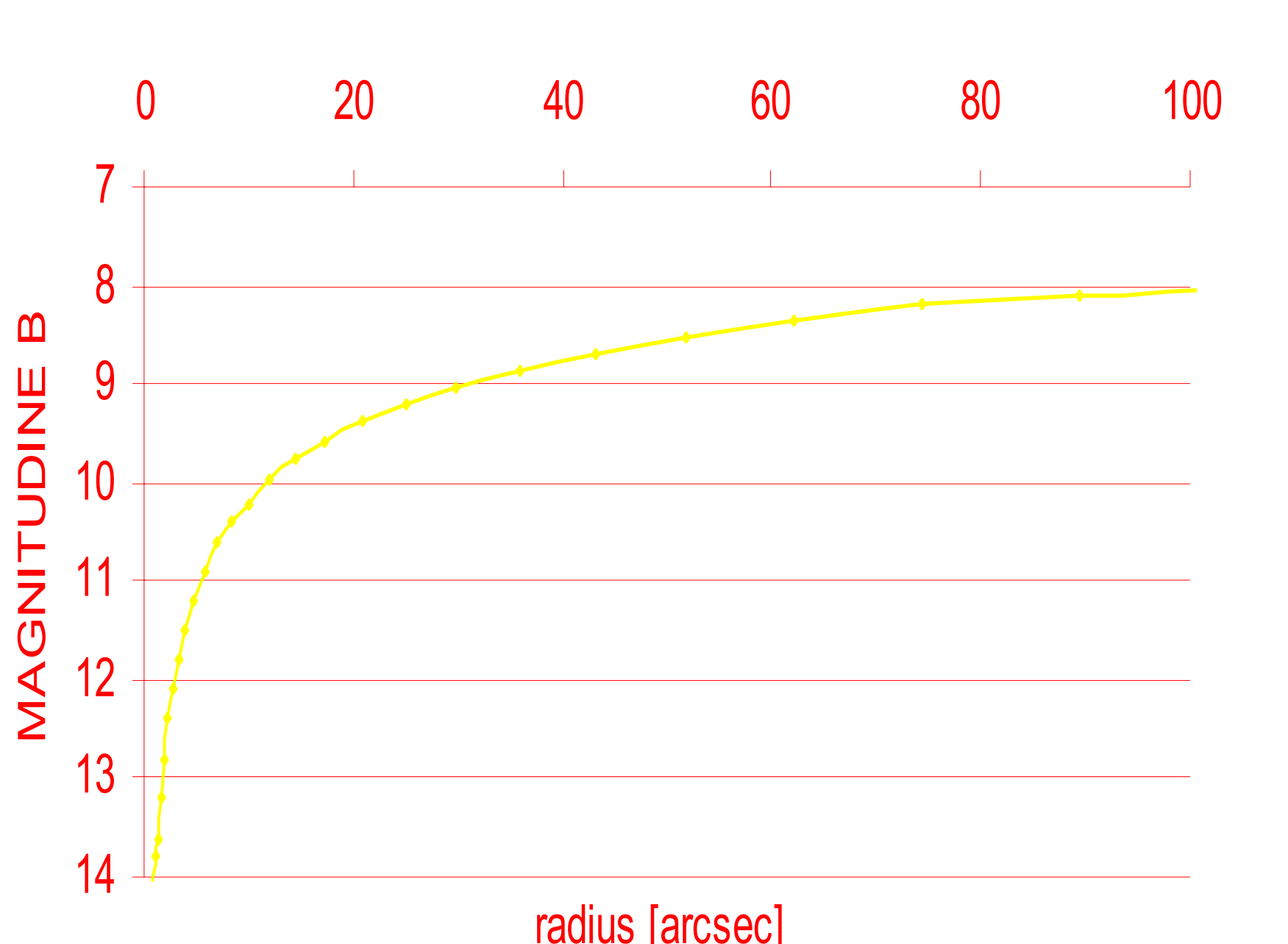
#### PROFILO DI ELLITTICITA' DI NGC 4649



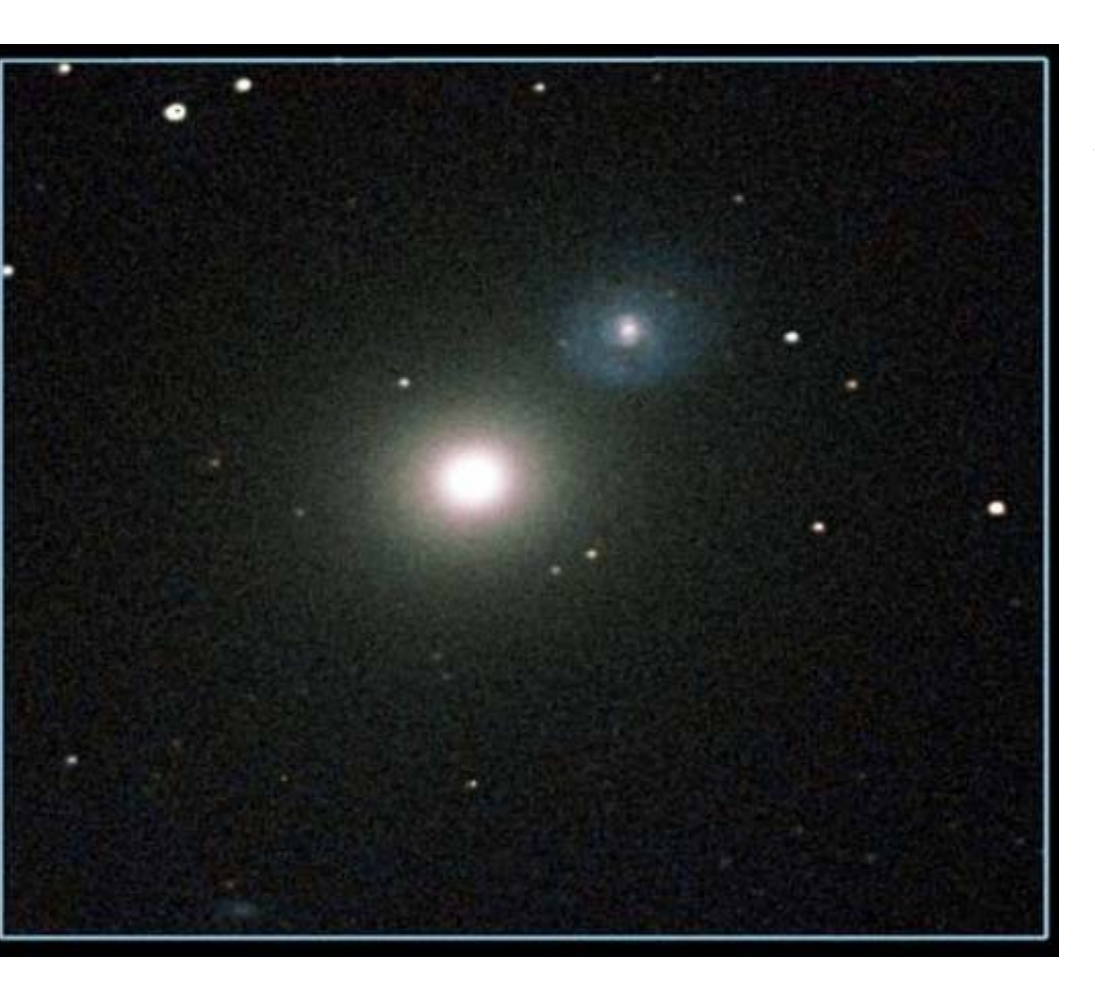
#### **VARIAZIONE DELL'ANGOLO DI POSIZIONE DI NGC4649**



#### **CURVA DI CRESCITA DI NGC 4649**

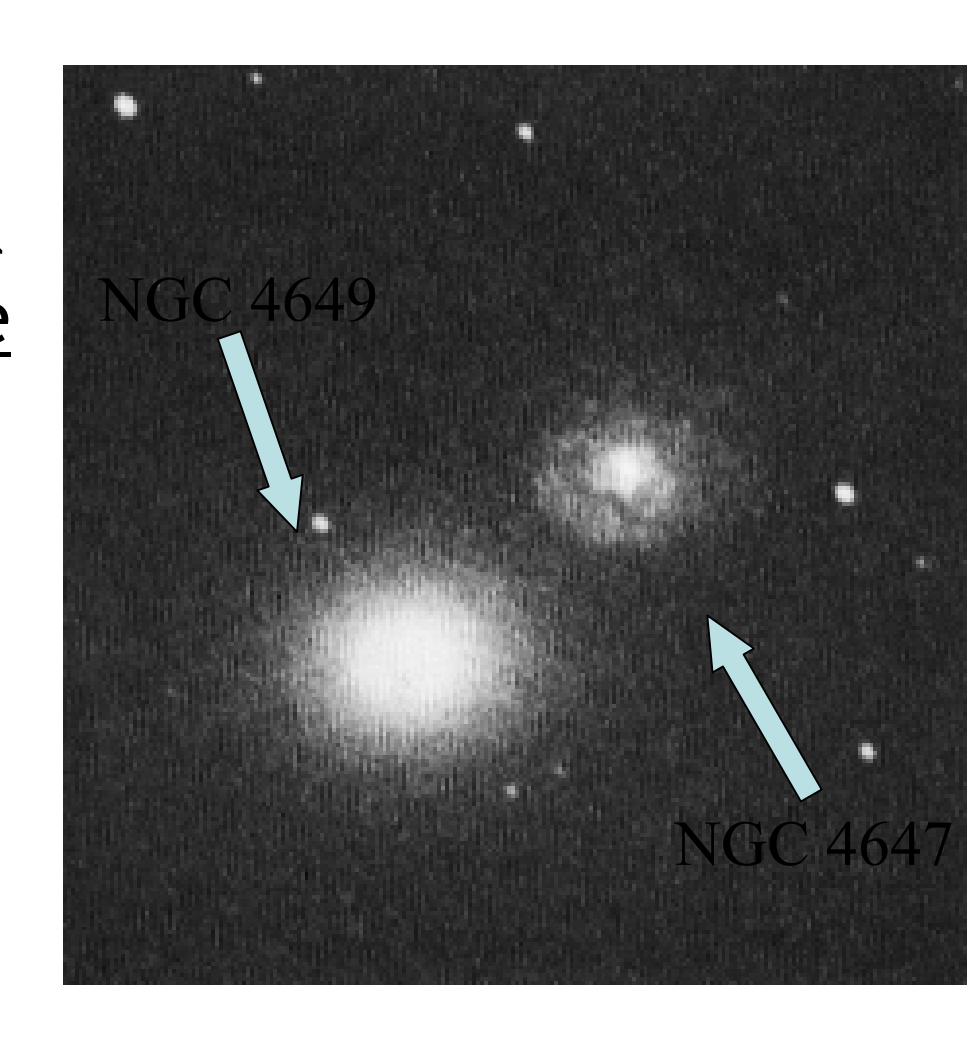


# NGC 4649 (M60)

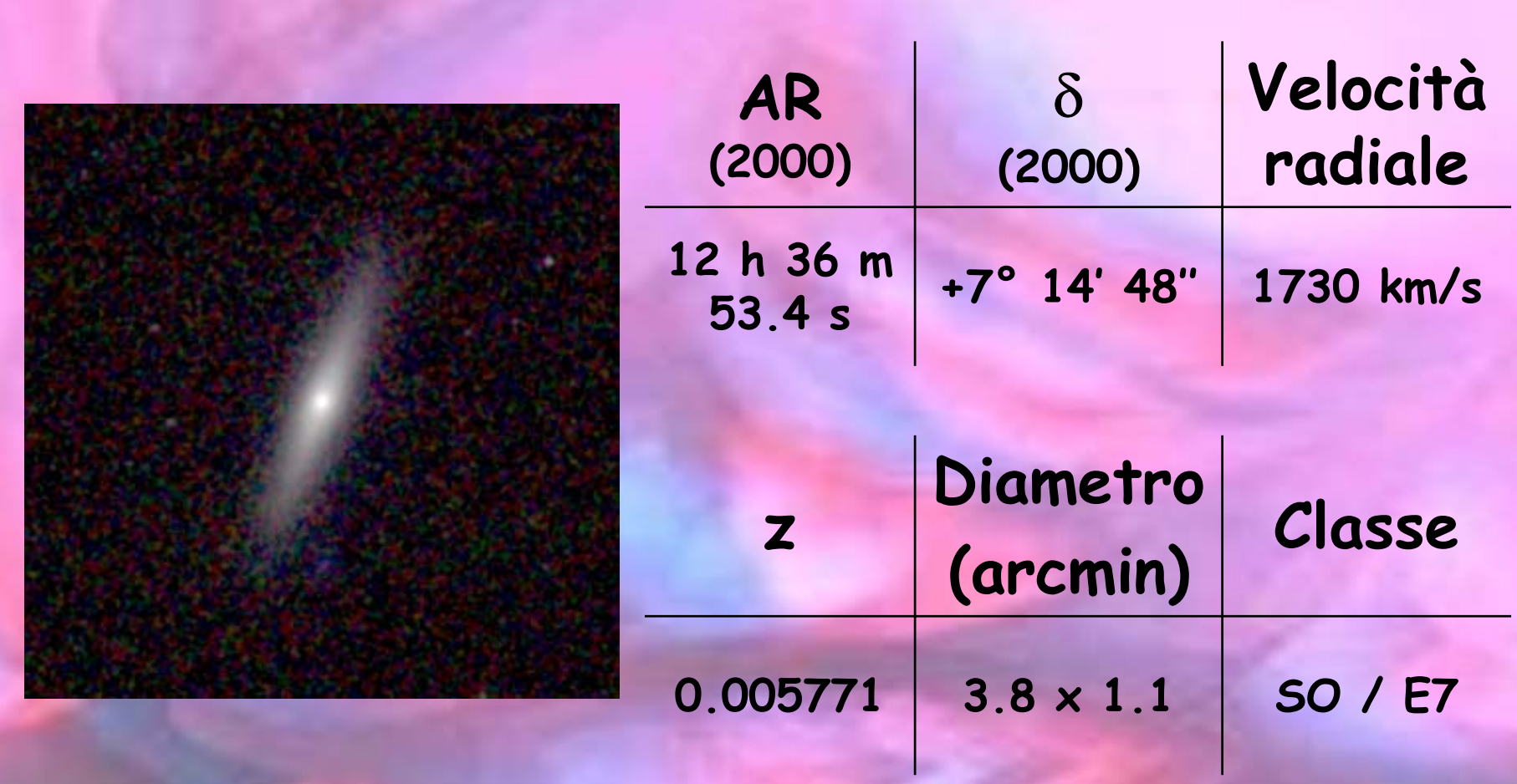


Si tratta di una delle galassie più brillanti del catalogo di Messier. Si presenta con una classica struttura ellittica, con la parte centrale più marcata rispetto alla periferia.

Nell'alone di M 60 si trova Ngc4647 che però <u>non è</u> <u>verosimilmente legata</u> <u>all'ellittica</u> in quanto la sua distanza è di **66** milioni di anni luce contro i **53** di M 60.



### Galassia NGC4570



MAGNITUDINE APPARENTE	MAGNITUDINE NASA	MAGNITUDINE ASSOLUTA
14.25	11.84	-17.06

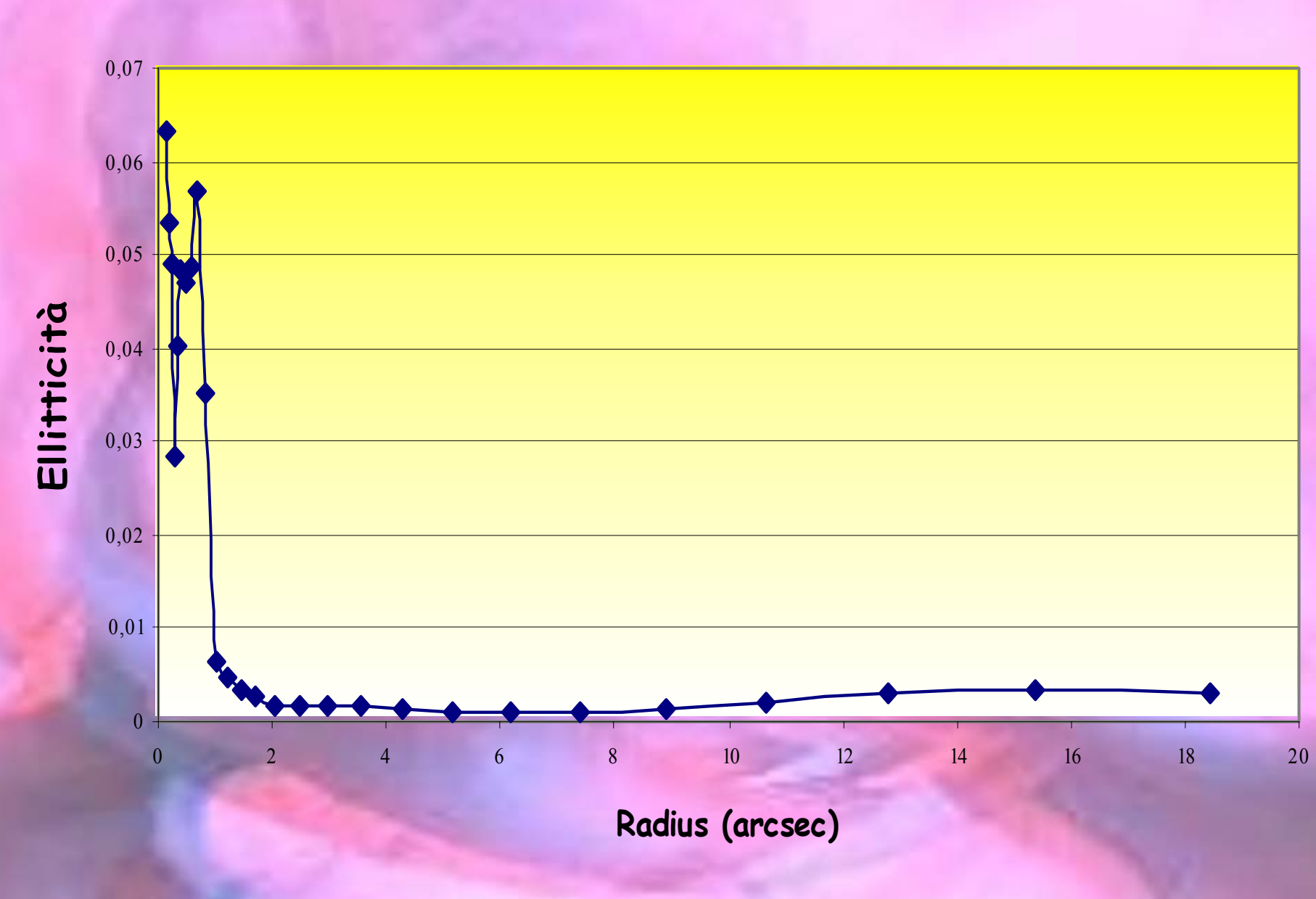
DISTANZA	STELLE COME IL SOLE	RAGGIO EFFICACE
18.3 x 10 <sup>6</sup> Mpc	5,6 x 10 <sup>8</sup>	26.57

#### PROFILO DI BRILLANZA DI NGC 4570

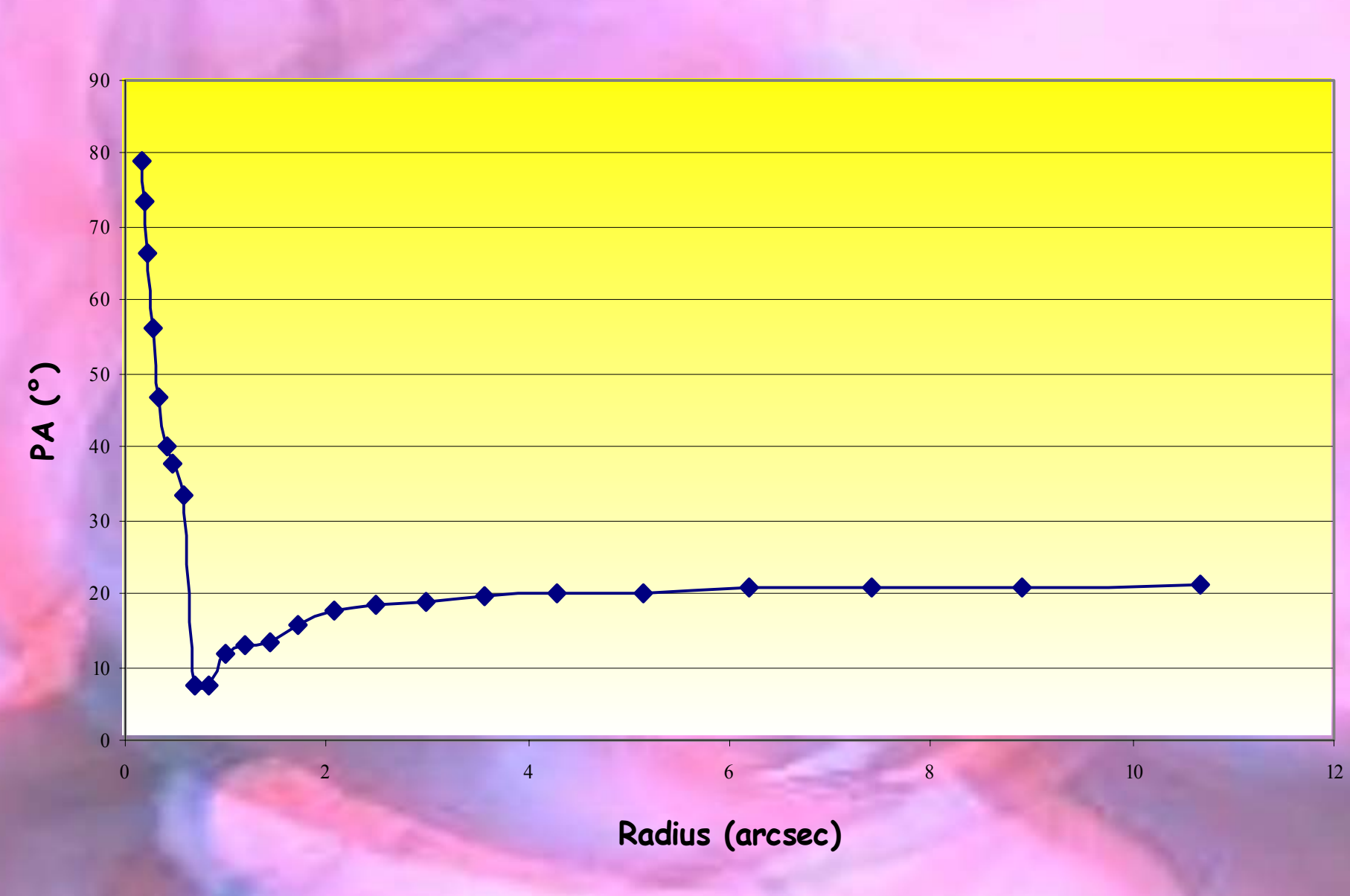




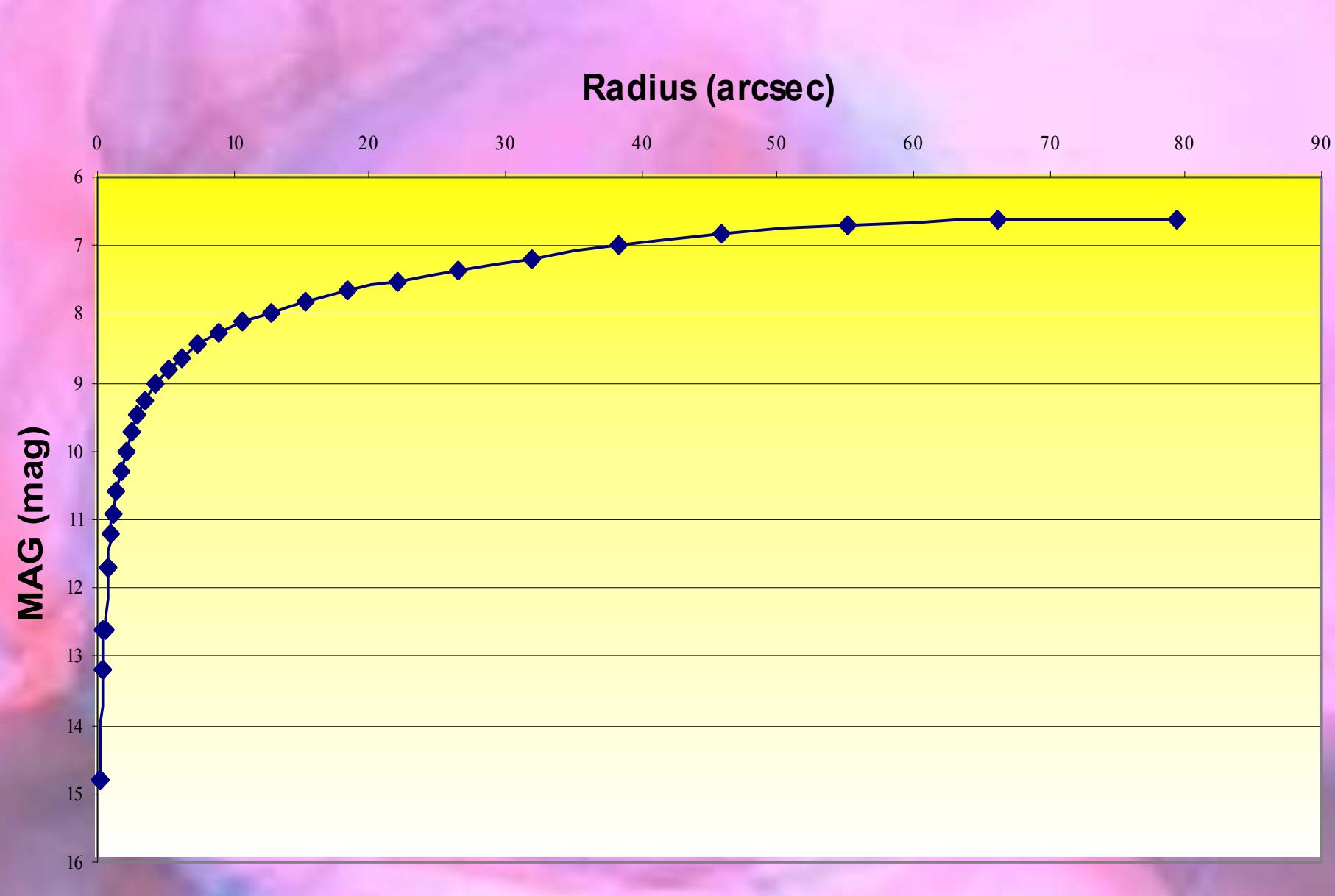
#### VARIAZIONE DELL'ELLITTICITA' DI NGC4570



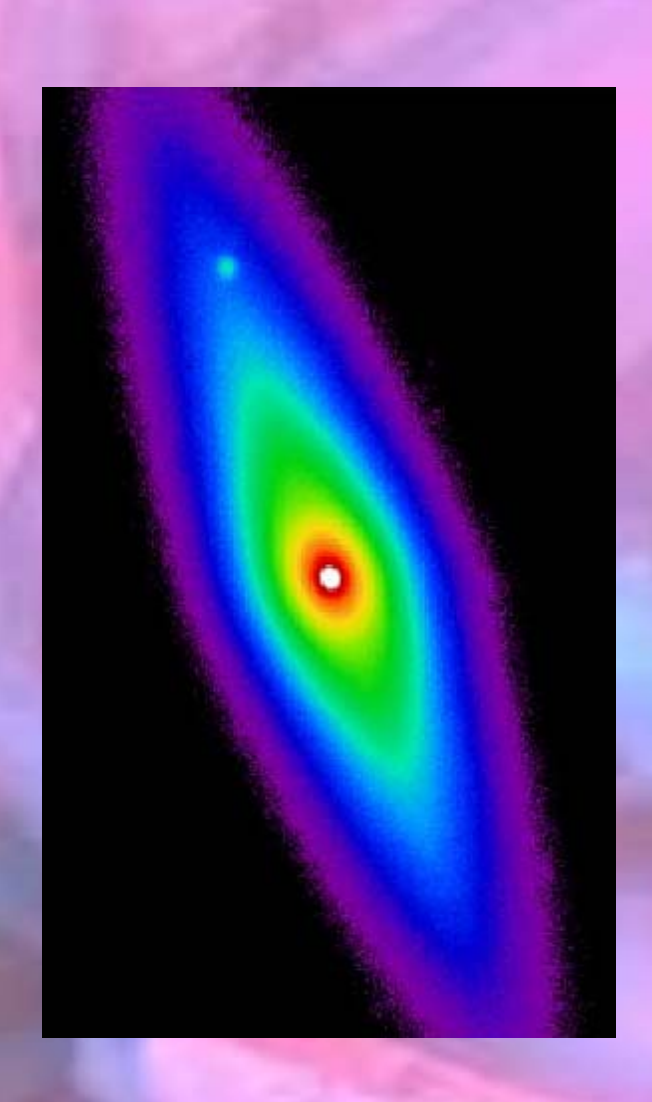
# VARIAZIONE DELL'ANGOLO DI POSIZIONE DI NGC 4570



#### Curva di crescita di NGC4570



### Osservazioni



- Si può notare la presenza di un disco attorno al bulge distinto dal disco diffuso (galassia lenticolare)
- · Il profilo della luminosità è, però, simile a quello di una galassia ellittica
- Nelle zone esterne l'angolo di posizione è pressoché costante
- Oltre il bulge è presente una zona di piccole dimensioni di elevata luminosità